

UNIVERSITATEA “POLITEHNICA” BUCUREȘTI

Facultatea de Electronică și Telecomunicații

Angel Cațaron

**REȚELE NEURALE PENTRU
RECUNOAȘTEREA VORBIRII**

Rezumatul tezei de doctorat

Conducător științific:

Prof. dr. ing Victor-Emil Neagoe

BUCUREȘTI

2003

Cuprins

Introducere	3
Structura lucrării	3
Recunoașterea vorbirii cu modele clasice de rețele neurale	4
Experimente	5
Recunoașterea cuvintelor	5
Recunoașterea vorbitorilor	5
Concluzii	6
Rețele neurale concurente	6
Rețele neurale concurente	7
Recunoașterea vorbitorilor cu rețele neurale concurente. Experimente	9
Recunoașterea vocalelor cu rețele neurale concurente. Experimente	9
Rezultate experimentale	10
Concluzii	11
Recunoaștere prin calculul relevanțelor intrărilor folosind operatori OWA	12
Algoritmul Relevance LVQ (RLVQ)	13
Operatorii OWA	13
Algoritmul OWA - Relevance LVQ (OWA-RLVQ)	14
Experimente	15
Concluzii	17
Recunoaștere prin calculul relevanțelor intrărilor folosind noțiuni de teoria informației	17
Informația mutuală pătratică	18
Algoritmul Mutual Information Relevance LVQ (MIRLVQ)	19
Algoritmul Weighted LVQ	19
Adaptarea factorilor de relevanță	19
Energia informațională	20
Algoritmul Energy Relevance LVQ (ERLVQ)	20
Experimente	21
Concluzii	22
Contribuții originale	23
Recunoașterea vorbirii cu modele clasice de rețele neurale	23
Rețele neurale concurente	23
Recunoaștere prin calculul relevanțelor intrărilor folosind operatori OWA	24
Recunoaștere prin calculul relevanțelor intrărilor folosind noțiuni de teoria informației	24
Bibliografie	26

Această lucrare investighează, pe de o parte, *cum poate fi implementat conceptul de concurență la nivelul unei colecții de rețele neurale* și, pe de altă parte, *modul în care importanța diferită a intrărilor influențează performanțele în recunoaștere ale unor tipuri de rețele neurale*. Recunoașterea formelor, domeniu în care se plasează și subiectul acestei teze, oferă un câmp foarte larg cercetării. Recunoașterea vorbirii grupează o gamă diversă de probleme precum recunoașterea cuvintelor izolate, identificarea vorbitorilor pe baza amprentei lor vocale, recunoașterea fonemelor etc. Rețelele neurale sunt un instrument care și-a demonstrat eficiența în rezolvarea unei palete largi de aplicații între care și cele de recunoaștere automată a vorbirii.

Majoritatea modelelor neurale abordează recunoașterea formelor ca o problemă unitară, globală, fără a face distincția între aportul individual diferit al intrărilor. Este cunoscut că modularitatea și principiul *divide et impera* aplicate rețelelor neurale le pot îmbunătăți performanțele. Introducem modelul *Concurrent Neural Networks (CNN)* care îmbină paradigmele învățării supervizate și nesupervizate și oferă o soluție primei probleme. Ideea concurenței este folosită la nivelul unei colecții de rețele neurale care sunt instruite independent pentru a rezolva subprobleme diferite. Recunoașterea se face prin identificarea rețelei neurale care furnizează cel mai bun răspuns. Așa cum o demonstrează și rezultatele experimentale, acuratețea recunoașterii este mai mare atunci când folosim modelul propus de noi față de cazurile în care nu folosim concurența.

A doua problemă are conotații mai largi deoarece se regăsește și în aplicații de *data mining*. Prin asocierea unei ponderi fiecărei intrări, se stabilește intensitatea cu care intrările influențează răspunsul sistemului și implicit capacitatea sa de recunoaștere corectă. Dezvoltăm algoritmul *Ordered Weighted Aggregation - Relevance LVQ (OWA-RLVQ)* care calculează ponderile sub forma unui set de coeficienți *Ordered Weighted Aggregation (OWA)*. Algoritmii *Mutual Information Relevance LVQ (MIRLVQ)* și *Energy Relevance LVQ (ERLVQ)* propuși în continuare stabilesc acești coeficienți prin maximizarea informației mutuale pe de o parte, și a unei mărimi definite cu ajutorul energiei informaționale, pe de altă parte. Avantajele algoritmilor noștri sunt confirmate experimental prin rate de recunoaștere în mod constant superioare față de alți algoritmi care rezolvă același tip de probleme.

Mulțumesc d-lui Prof. dr. ing. Victor-Emil Neagoe care în calitate de conducător științific m-a sprijinit constant prin colaborarea fructuoasă de-a lungul acestor ani, prin discuțiile pline de substanță și prin sfaturile fără de care nu aș fi putut finaliza această teză.

De asemenea, mulțumesc tuturor colegilor care au influențat într-un fel sau altul conținutul acestei teze. Mulțumesc profesorilor care mi-au transmis pasiunea și dorința de a progresa. Multe mulțumiri prietenilor care m-au încurajat să merg mai departe în timpul perioadei de pregătire a tezei.

Mulțumesc părinților pentru că prin educația pe care mi-au dat-o și prin modul în care m-au crescut m-au ajutat să ajung până aici.

Mulțumesc familiei care m-a susținut în toată această perioadă, mi-a oferit suportul moral, motivația de care am avut nevoie și care m-a învățat ca nimic nu este greu pentru că nu sunt singur.

Brașov, septembrie 2003

Introducere

Această lucrare abordează o temă recunoaștere a formelor folosind rețele neurale, cu aplicații în recunoașterea vorbirii. Sunt introduse mai multe modele originale de recunoaștere, iar dezvoltările teoretice și rezultatele experimentale demonstrează viabilitatea acestora. Spectrul aplicațiilor de recunoaștere a vorbirii abordate în teză este larg, începând cu recunoașterea fonemelor, continuând cu recunoașterea cuvintelor izolate și terminând cu recunoașterea vorbitorilor. Bazele de date sunt diverse, fiind vorba atât de colecții standard pentru limba engleză cât și de seturi alcătuite special pentru experimentele din această lucrare și conțin cuvinte din limba română. Am testat unele modele propuse de noi și pe seturi de date standard în recunoașterea formelor, cu scopul de a ilustra faptul că ele pot fi folosite și în alte contexte decât cel al recunoașterii vorbirii.

Structura lucrării

Teza este organizată în șapte capitole care conțin părți teoretice și descrieri ale experimentelor de recunoaștere a formelor, iar contribuțiile originale sunt argumentate în detaliu. Experimentele de recunoaștere vocală sunt diverse, pornind de la recunoașterea cuvintelor izolate, continuând cu recunoașterea vorbitorilor și terminând cu recunoașterea vocalelor. Bazele de date folosite acoperă o gamă largă, unele fiind publice, altele alcătuite special pentru experimentele din această lucrare. În unele experimente am utilizat și baze de date care nu sunt destinate strict recunoașterii vorbirii, demonstrând astfel că algoritmi propuși pot fi folosiți și pentru probleme generale de recunoaștere a formelor.

Capitolul 2 face o prezentare a tipurilor fundamentale de rețele neurale și a tehnicilor de instruire care stau la baza modelelor introduse în celelalte capitole.

În capitolul 3 este prezentat un set de experimente de recunoaștere a cuvintelor izolate și a vorbitorilor folosind trei modele clasice de rețele neurale: perceptronul multistrat, rețeaua neurală cu întârziere în timp și harta cu autoorganizare. Cele două baze de date, Speechdata și Telephdata, pe care le-am folosit în aceste teste constau din cuvinte izolate pronunțate de diverși vorbitori mai întâi în condiții de studio, fără perturbații, și apoi prin telefon. Pentru preprocesarea semnalelor vocale se folosește o cunoscută metodă de calcul al coeficienților cepstrali. Problema instruirii și cea a recunoașterii informației din aceste două baze de date sunt deosebit de complicate și rezultatele experimentale demonstrează acest lucru. Recunoașterea cuvintelor izolate conduce la rezultate satisfăcătoare în majoritatea cazurilor, însă recunoașterea vorbitorilor ridică probleme deosebite.

Rețelele neurale concurente introduse în capitolul 4 reprezintă un model conexiionist de recunoaștere care pornește de la observația că o rețea neurală este mai eficientă atunci când implementează o problemă mai puțin complexă sau când este specializată pe o subproblemă a problemei globale de recunoaștere. Modelul propus în acest capitol este o colecție de rețele neurale care lucrează în paralel, iar decizia în recunoaștere se ia conform regulii *câștigătorul ia tot*. Fiecare rețea neurală componentă este instruită individual cu un set propriu de date. Fiind vorba de module care rezolvă probleme cu o complexitate intrinsecă mai scăzută, numărul de neuroni pentru fiecare modul poate fi redus semnificativ. Am instruit rețele neurale concurente având drept unități elementare perceptroni multistrat, rețele neurale cu întârziere în timp și hărți cu autoorganizare pentru aceeași problemă de recunoaștere a vorbitorilor din capitolul 3, iar performanțele pentru cele două baze de date au crescut semnificativ. Cu același model am implementat și recunoașterea unui subset de șase vocale din limba română, baza de date fiind alcătuită prin segmentarea manuală a semnalelor vocale, în scopul extragerii secvențelor vocalizate. Preprocesarea constă din calculul coeficienților cepstrali care sunt vectorii de instruire. Rețeaua neurală concurentă care folosește hărți cu autoorganizare specializate pe recunoașterea câte unei vocale are performanțe mai bune decât o hartă unică, instruită cu toate vocalele.

În capitolul 5, problema recunoașterii este abordată dintr-o perspectivă diferită pentru că ne punem problema creșterii performanțelor prin selectarea acelor caracteristici ale vectorilor de instruire și de test care contribuie cel mai mult la o recunoaștere corectă. Fiecărei componente a vectorilor de intrare i se asociază câte un coeficient care reprezintă importanța acestuia, iar coeficienții sunt instruiți în așa fel încât să minimizeze eroarea de cuantizare a unei rețele neurale de tip LVQ. Algoritmul RLVQ calculează printr-o tehnică euristică acești coeficienți. Operatorii OWA sunt o familie de operatori de agregare care se bazează pe reordonarea criteriilor care trebuie satisfăcute într-un proces de clasificare. Algoritmul OWA-RLVQ propus de noi calculează dinamic relevanțele intrărilor ca ponderi ale unui operator OWA, făcând totodată o legătură importantă între algoritmul RLVQ și modelul matematic al operatorilor OWA. Performanțele algoritmului nostru sunt comparate cu ratele de recunoaștere obținute cu LVQ și RLVQ și rezultatele înregistrate de OWA-RLVQ sunt superioare pentru toate cele trei baze de date utilizate în teste. Dovedim astfel că metoda noastră este competitivă atât pentru probleme de recunoaștere vocală cât și pentru probleme generale de recunoaștere a formelor.

Capitolul 6 introduce două noi metode de calcul al relevanțelor pentru componentele vectorilor de intrare cu ajutorul informației mutuale pe de o parte și a energiei informaționale pe de altă parte. Estimarea pe baza unor date de instruire a informației mutuale definită cu ajutorul entropiei Shannon ridică probleme computaționale serioase. Se pot folosi metode alternative cum ar fi cea care calculează entropia Renyi pornind de la estimarea densităților de probabilitate cu ferestre Parzen. Informația mutuală pătratică dintre două variabile aleatoare obținută fie prin similaritatea cu entropia Renyi pătratică, fie pe baza inegalității lui Pinsker devine un criteriu care poate fi maximizat iterativ într-o problemă de gradient pozitiv. Algoritmul MIRLVQ propus de noi calculează iterativ relevanțele vectorilor de intrare maximizând informația mutuală pătratică dintre o variabilă aleatoare continuă ale cărei realizări sunt calculate pe baza datelor de instruire și o variabilă aleatoare discretă ale cărei realizări sunt clasele din care fac parte vectorii de instruire. Energia informațională este o mărime pe baza căreia se calculează măsura $o(X,Y)$, unde X și Y sunt două variabile aleatoare, care este similară informației mutuale. Al doilea algoritm propus de noi, numit ERLVQ, calculează relevanțele componentelor din vectorii de intrare prin maximizarea măsurii $o(X,Y)$ și obținem o formulă de actualizare similară celei din MIRLVQ. Experimentele realizate cu aceleași baze de date folosite în capitolul 5 arată că noua metodă este superioară din punct de vedere al ratei de recunoaștere algoritmului OWA-RLVQ.

Capitolul 7 care este o sinteză prezintă contribuțiile pe care teza le aduce la dezvoltarea domeniului recunoașterii formelor și posibilele direcții viitoare de dezvoltare a rezultatelor obținute în lucrare.

Recunoașterea vorbirii cu modele clasice de rețele neurale

Acest capitol prezintă un studiu comparativ asupra performanțelor în recunoașterea cuvintelor izolate și a vorbitorilor a perceptrunilor multistrat, a rețelelor neurale cu întârziere în timp și a hărților cu autoorganizare. Au fost folosite două baze de date care conțin informații prelucrate prin analiză cepstrală după înregistrarea semnalelor vocale mai întâi într-un mediu fără perturbații, iar apoi după ce au fost transmise printr-o linie telefonică. Cu toate că pentru recunoașterea cuvintelor izolate rezultatele au fost bune, testele de recunoaștere a vorbitorilor au demonstrat că aceste modele nu oferă întotdeauna soluții satisfăcătoare.

Problemele computaționale asociate recunoașterii vorbirii și succesul limitat al diverselor tehnici convenționale au condus la dezvoltarea unor abordări bazate pe rețelele neurale. Metodele descrise în literatură diferă în special prin modul în care sunt convertite semnalele vocale în diverse formate cu scopul de a fi utilizate ca intrări ale rețelelor neurale, prin categoriile de aplicații implementate, de exemplu recunoașterea cuvintelor sau a fonemelor, recunoaștere dependentă sau independentă de vorbitor etc. și prin tipul de rețea neurală folosită.

Este dificil să comparăm în mod direct rezultatele obținute de diverși autori pentru că în majoritatea cazurilor acestea se bazează pe seturi particulare de date. Este de dorit ca pentru toate

modelele testate să folosim aceleași date de instruire, obținând astfel o imagine mult mai fidelă a performanțelor lor. Scopul acestui capitol este de a prezenta o comparație a rezultatelor obținute în recunoașterea vorbirii prin trei tehnici diferite [66]: perceptronul multistrat (MLP), rețeaua neurală cu întârziere în timp (TDNN) și harta cu autoorganizare (SOM), pentru aceeași bază de date. Pentru că aceste tipuri de rețele neurale sunt foarte cunoscute, le-am asociat atributul "clasice".

În testele de recunoaștere a vorbirii cu MLP, TDNN și SOM am folosit două baze de date numite Speechdata și Telephdata care au fost realizate la Northern Ireland BioEngineering Center (NIBEC). Ele cuprind pronunțiile în limba engleză ale cifrelor 0 până la 9 la care au fost adăugate *nought*, *oh* și *zero* care sunt variante ale cifrei 0. Pentru crearea fiecărei baze de date au fost alese câte 25 de persoane care au repetat cele 12 cuvinte de câte 20 de ori, rezultând un număr total de 6000 de pronunții.

Experimente

Recunoașterea cuvintelor

Cele două baze de date conțin câte 12 cuvinte pronunțate de câte 25 de vorbitori. Fiecare vorbitor a repetat fiecare cuvânt de câte 20 de ori, astfel încât atât Speechdata cât și Telephdata conțin câte 6000 de repetiții. De fiecare dată primele 8 repetiții ale fiecărui cuvânt au fost folosite la instruire și ultimele 12 la test. Datorită metodei de creare a bazelor de date, vectorii au fost organizați sub forma unor matrici de 15x18 componente, deci rețelele neurale folosite au avut câte 270 de intrări.

Atât pentru perceptronul multistrat cât și pentru rețelele neurale cu întârziere în timp am folosit configurații cu un singur strat ascuns. Numărul de neuroni de pe stratul ascuns a fost de aproximativ 100 de neuroni, cu mici variații care nu au influențat semnificativ capacitatea de învățare. Pentru că numărul de cuvinte este 12, am stabilit ca acesta să fie și numărul de neuroni de ieșire pentru MLP și TDNN. Fiecare ieșire se activează pentru câte o singură clasă de vectori, generând o ieșire apropiată de 1. Ieșirile care nu se activează generează valori apropiate de 0. În faza de instruire am folosit chiar valorile 1 și 0 pentru ieșirile dorite, iar la testare am acceptat un prag de 0,3. Aceasta înseamnă că o ieșire între 0,7 și 1 este asimilată lui 1, iar una între 0 și 0,3 este 0. Hărțile cu autoorganizare folosite pentru recunoașterea cuvintelor au avut 17x15 noduri. Instruirea a avut loc în două etape. Pentru prima, cea de organizare a hărții, am rulat 10000 de pași ai algoritmului, iar pentru a doua, cea a accentuării zonelor, am parcurs 120000 de pași. Prin calibrare se stabilește pe baza distanței euclidiene clasa căreia îi aparține fiecare neuron. Aceasta se realizează statistic, prin prezentarea la intrările hărții instruite a unor vectori despre care se știe din ce clase fac parte. Nodurile rămase neetichetate nu sunt folosite în faza de test.

Rezultatele experimentelor de recunoaștere a cuvintelor pentru fiecare tip de rețea neurală și pentru ambele baze de date sunt prezentate în Tabelul 1.

Tabelul 1. Rezultatele experimentelor de recunoaștere a cuvintelor.

	MLP	TDNN	SOM
Speechdata	93,3%	95,1%	97,1%
Telephdata	76,3%	90,5%	96,8%

Recunoașterea vorbitorilor

O problemă mai dificilă pe care am implementat-o cu modelele clasice de rețele neurale a fost recunoașterea vorbitorilor. Ne-am propus să instruim MLP și TDNN cu vectori grupați după criteriul identității persoanei. Astfel, cuvintele din cele două baze de date au fost separate în 25 de clase care corespund celor 25 de vorbitori. Acum nu ne mai interesează care sunt cuvintele pe care le-au pronunțat subiecții pentru că această informație devine nerelevantă. Repetarea, însă, a acelorași cuvinte produce redundanța necesară algoritmilor de instruire care pot extrage trăsăturile dominante ale vocii fiecărui vorbitor. Răspunsurile dorite ale vectorilor de instruire au fost ca și la recunoașterea cuvintelor secvențe binare cu o componentă care are valoarea 1 și care arată clasa din

care face parte vectorul, iar restul au valoarea 0. Fiind vorba de 25 de clase, stratul de ieșire al rețelelor neurale a fost redimensionat la această valoare. Stratul ascuns a crescut la 150 de noduri deoarece am constatat experimental că este soluția optimă. În cazul instruirii SOM am optat pentru o rețea de 30x30 de noduri care a fost calibrată cu vectori din cele 25 de clase.

Sinteza rezultatelor obținute pentru acest set de experimente se găsește în Tabelul 2.

Tabelul 2. Rezultatele experimentelor de recunoaștere a vorbitorilor.

	MLP	TDNN	SOM
Speechdata	71,2%	57,2%	52,8%
Telephdata	6,7%	32,33%	44,7%

Concluzii

Rezultatele experimentale prezentate în acest capitol creează o imagine a capacității unor modele clasice de rețele neurale de a rezolva probleme de recunoaștere a vorbirii. Recunoașterea cuvintelor izolate din Speechdata a condus la rezultate satisfăcătoare. La recunoașterea cuvintelor din Telephdata, perceptronul multistrat a avut o comportare foarte slabă. Modul de construire a bazei de date a permis MLP obținerea unui rezultat apropiat de TDNN, chiar dacă structura rețelei neurale nu permite extragerea unor informații legate de secvența în timp a cadrelor ce alcătuiesc un cuvânt. Performanțele SOM arată potențialul crescut al rețelelor neurale cu autoorganizare. Studiind ratele de recunoaștere, putem trage concluzia că modelul standard MLP nu este potrivit pentru recunoașterea eficientă a cuvintelor izolate.

Pe de altă parte, rezultatele obținute la testele de recunoașterea vorbitorilor arată că modelele clasice sunt insuficiente. Ratele de succes de până la 50% dovedesc faptul că ele nu sunt capabile să extragă caracteristicile vocale ale indivizilor într-o măsură suficient de bună și este nevoie de implementarea unor tehnici care să răspundă mai bine cerințelor. Pentru a îmbunătăți performanțele rețelelor neurale în recunoașterea vorbitorilor, în capitolul următor vom introduce rețelele neurale concurente, un nou model de recunoaștere care folosește ideea de modularitate și principiul *divide et impera*.

Rețele neurale concurente

Propunem în acest capitol un nou model neural de recunoaștere numit Concurrent Neural Networks (CNN) care constă dintr-o colecție de rețele neurale, iar decizia la clasificare se ia prin regula câștigătorul ia tot. Fiecare rețea neurală componentă a sistemului este instruită separat pentru a răspunde corect intrărilor dintr-o singură clasă. Am aplicat acest model la recunoașterea vorbitorilor și a vocalelor folosind perceptroni multistrat, rețele neurale cu întârziere în timp și hărți cu autoorganizare ca module ale sistemului concurent.

Experimentele de recunoaștere a vorbitorilor descrise în capitolul anterior au demonstrat că modelele clasice pe care le-am testat nu oferă întotdeauna rezultate mulțumitoare. Perceptronul multistrat conduce uneori la rezultate mai slabe datorită faptului că arhitectura sa are un caracter general și nu exploatează caracteristicile semnalului vocal. Performanțele acestor rețele scad foarte mult pentru recunoașterea vorbitorilor. În experimentele noastre, numărul claselor folosite la recunoașterea vorbitorilor este dublu față de cel folosit pentru recunoașterea cuvintelor. Reducând numărul de vorbitori, se constată, însă, că performanțele rămân inferioare celor stabilite la recunoașterea cuvintelor, ceea ce arată că problema este una mai complexă.

Pe de altă parte, este evident că reducerea numărului de vorbitori provoacă îmbunătățirea comportamentului rețelelor neurale prin creșterea ratei de succes pentru că problema pe care o implementează devine mai puțin dificilă. Problema globală poate fi redusă la o sumă de subprobleme prin separarea vorbitorilor în grupuri mai mici în interiorul cărora recunoașterea este mai ușor de realizat.

Rețelele neurale modulare [30] au la bază ideea că, pe lângă nivelele ierarhice de organizare a rețelelor neurale artificiale: sinapse, neuroni, straturi de neuroni și rețeaua însăși, se poate crea un nou nivel care combină mai multe rețele neurale. Modularitatea are o justificare neurobiologică, fiind un principiu important în arhitectura sistemelor nervoase ale vertebratelor. De altfel, sistemul vizual oferă un bun exemplu de calcul modular deoarece imaginile percepute sunt descompuse în imagini de dimensiuni reduse care sunt analizate separat, iar rezultatele individuale sunt apoi combinate.

Haykin [30] arată că o rețea neurală se numește modulară atunci când calculul realizat de rețea poate fi descompus în două sau mai multe module care operează pe seturi distincte de intrări, fără a comunica între ele. Ieșirile modulelor sunt mediate de o unitate de integrare care nu permite transmiterea informației înapoi către module. Unitatea de integrare trebuie să decidă cum se combină ieșirile modulelor pentru a forma ieșirea finală a sistemului și trebuie să decidă ce seturi de vectori trebuie învățate de fiecare modul. Modularitatea poate fi privită ca o formă de implementare a principiului *divide et impera* care permite rezolvarea problemelor complexe prin descompunerea acestora în subprobleme și combinarea soluțiilor individuale. Rețelele neurale modulare au fost studiate în diverse contexte. Rueckl, Cave și Kosslyn pun în [74] problema identificării unor obiecte cunoscute și a găsirii locației acestora în spațiu. S-a constatat că timpul de instruire a fost mai scurt atunci când s-au folosit două rețele neurale în locul uneia singure. Tehnica numită *connectionist glue* propusă de Waibel, Sawai și Shikano [91] presupune instruirea individuală a rețelelor neurale pentru diferite probleme de recunoaștere a vorbirii urmată de regruparea lor. Jacobs, Jordan și Barto [34] instruiesc un sistem modular în care modulele concurează pentru a învăța diverși vectori particulari. Anand, Mehora, Mohan și Ranka [1] propun o metodă prin care problema clasificării vectorilor în K clase este transformată în K probleme de clasificare a vectorilor în două clase. Modulele decid dacă un vector aparține unei clase sau nu. Algoritmul backpropagation este modificat pentru a suplini diferența mare dintre exemplele pozitive și cele negative pe care o presupune această soluție.

Modelul propus de noi [11] numit *Concurrent Neural Networks (CNN)* introduce o nouă tehnică neurală de recunoaștere care se bazează pe ideea competiției între mai multe rețele neurale care lucrează în paralel, decizia finală luându-se pe baza regulii *câștigătorul ia tot*. Numărul de rețele folosit este egal cu numărul de clase în care sunt grupați vectorii, iar instruirea este supervizată. Fiecare rețea este proiectată să recunoască corect vectori dintr-o singură clasă, astfel că răspunsurile cele mai bune apar doar atunci când îi sunt prezentați vectori din clasa cu care a fost instruită. Acest model este de fapt un cadru care oferă flexibilitate arhitecturii fiindcă modulele pot fi reprezentate de diverse tipuri de rețele neurale.

Pornind de la modelul CNN din [11], Neagoe [60] a dezvoltat și experimentat modelul *Concurrent Self-Organizing Maps (CSOM)* care se detașează ca o tehnică nouă cu performanțe excelente. A fost demonstrată importanța CSOM pentru cazul general al vectorilor cu repartiții normale multimodale și s-a arătat că poate fi folosit cu succes pentru clase largi de probleme de recunoaștere a formelor. CSOM a fost aplicat cu succes de Neagoe [60] pentru recunoașterea fețelor umane și de Neagoe și Ropot în clasificarea imaginilor satelitare [61], în aplicații de clasificare a formelor [62], pentru recunoașterea fețelor umane și la recunoașterea vorbitorilor [64].

Ideea competiției dintre hărțile cu autoorganizare a fost utilizată ulterior și de Lapidot, Guterman și Cohen în [51] pentru recunoașterea nesupervizată a vorbitorilor. Fiecare vorbitor este modelat printr-o hartă, în timp ce un algoritm iterativ permite ajustarea hărților.

Acest capitol prezintă noul model al rețelelor neurale concurente și analizează performanțele sale pentru recunoașterea vorbitorilor și a vocalelor.

Rețele neurale concurente

Schema generală folosită pentru instruirea rețelelor neurale concurente este cea din Figura 1. În această schemă, n reprezintă numărul de rețele neurale care lucrează în paralel, dar este egal totodată și cu numărul de clase în care sunt grupați vectorii de instruire.

Mulțimea X de vectori este obținută în urma preprocesării semnalelor vocale achiziționate în scopul instruirii rețelelor. Din această mulțime sunt extrase seturile de vectori $X_j, j=1,2 \dots n$ cu care vor fi instruite cele n rețele neurale. În urma aplicării procedurii de învățare, fiecare rețea neurală va trebui să răspundă pozitiv unei singure clase de vectori și să dea răspunsuri negative pentru toți ceilalți vectori. Algoritmul de instruire pentru rețeaua concurentă este următorul:

Etapa 1. Se creează baza de date. Aceasta conține vectorii de instruire obținuți în urma preprocesării semnalului vocal.

Etapa 2. Se extrag din baza de date seturile de vectori specifice fiecărei rețele neurale în parte. Dacă este cazul, se stabilesc ieșirile dorite.

Etapa 3. Se aplică algoritmul de instruire fiecărei rețele neurale folosind seturile de vectori create la pasul 2.

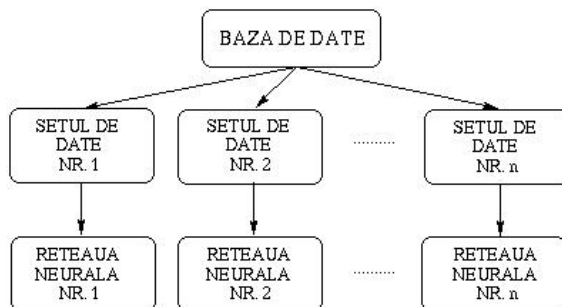


Figura 1. Modelul folosit la instruirea rețelelor neurale concurente.

Recunoașterea se desfășoară în paralel, conform schemei din Figura 2.

Cele n rețele neurale se presupune că au fost instruite prin algoritmul descris mai înainte. La aplicarea vectorului de test, rețelele generează câte un răspuns individual, iar selecția constă în alegerea rețelei care a generat răspunsul cel mai puternic. Rețeaua selectată prin regula *câștigătorul ia tot* este declarată câștigătoare. Indicele rețelei câștigătoare va fi indicele clasei în care este plasat vectorul de test. Această metodă de recunoaștere a formelor presupune, așadar, că este *a priori* cunoscut numărul de clase cu care va lucra rețeaua concurentă și că pentru fiecare clasă există suficienți vectori de instruire. Algoritmul de recunoaștere este cel de mai jos.

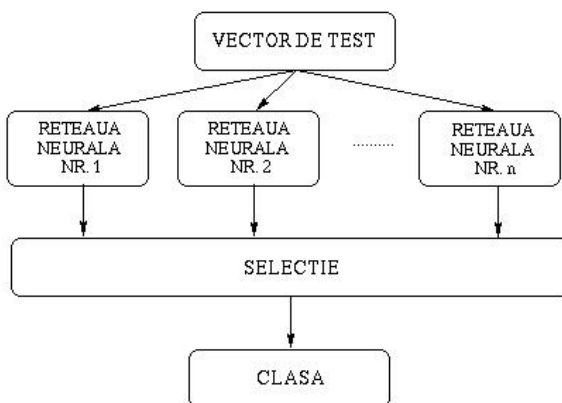


Figura 2. Modelul folosit la recunoaștere de rețele neurale concurente.

Etapa 1. Este creat vectorul de test prin preprocesarea semnalului vocal.

Etapa 2. Vectorul de test este transmis în paralel tuturor celor n rețele neurale instruite în prealabil.

Etapa 3. Blocul de selecție stabilește indicele rețelei cu răspunsul cel mai bun. Acesta va fi indicele clasei în care este încadrat vectorul.

Modelele din figurile Figura 1 și Figura 2 pot fi particularizate plasând în locul celor n rețele neurale diferite arhitecturi. În experimentele prezentate în această lucrare am folosit perceptroni multistrat (MLP), rețele neurale cu întârziere în timp (TDNN) și hărți Kohonen (SOM), obținând astfel trei tipuri diferite de rețele neurale concurente.

Recunoașterea vorbitorilor cu rețele neurale concurente. Experimente

Experimentele descrise în această secțiune [11], [13] compară capacitatea de recunoaștere a MLP, TDNN, SOM și a rețelelor neurale concurente care folosesc aceste tipuri de rețele neurale drept module de bază. Rezultatele prezentate aici au fost obținute în urma testelor de recunoaștere a vorbitorilor folosind mai întâi baza de date Speechdata, iar apoi baza de date Telephdata care conțin cuvinte pronunțate de 25 de vorbitori pe care i-am organizat în 25 de clase.

Scopul testelor este acela de a recunoaște cei 25 de vorbitori pe baza diverselor pronunții ale acelorași cuvinte, diferite de cele folosite la instruire. Am adoptat ca bază de comparație rezultatele obținute cu MLP, TDNN și SOM descrise în secțiunea 3.3.2 și care se găsesc și în Tabelul 3 pe coloanele marcate cu litera B (model neural de bază).

Tabelul 3. Rezultatele experimentelor de recunoaștere a vorbitorilor cu MLP, MLP-CNN, TDNN, TDNN-CNN, SOM și SOM-CNN.

	Speechdata		Telephdata	
	B	CNN	B	CNN
MLP	71,25%	86,22%	6,75%	72,86%
TDNN	57,28%	89,31%	32,33%	72,72%
SOM	52,86%	90,42%	44,72%	75,25%

Modelul concurent ales de noi grupează 25 de rețele clasice, câte una pentru fiecare vorbitor. Metoda de instruire este descrisă în continuare, fiind supervizată pentru MLP și TDNN și nesupervizată pentru SOM. Etapa de recunoaștere impune alegerea celei mai performante rețele care este declarată câștigătoare. Setul de experimente descrise în acest subcapitol testează modelul rețelelor neurale concurente pentru recunoașterea vorbitorilor.

În Tabelul 3 sunt prezentate ratele de recunoaștere pentru MLP-CNN, TDNN-CNN și SOM-CNN, în coloanele marcate cu CNN.

Rezultatele obținute la recunoașterea vorbitorilor cu rețele neurale concurente sunt mult îmbunătățite față de modelele clasice. MLP s-a dovedit a fi sensibil mai bun decât TDNN și SOM în testele cu modelul clasic folosind Speechdata, dar mult mai slab pentru Telephdata. Folosirea rețelelor concurente a îmbunătățit semnificativ ratele de recunoaștere. Modelul SOM-CNN s-a dovedit a fi cel mai performant, rezultatele fiind cu mai mult de 4% mai bune decât modelul MLP-CNN și cu aproximativ 1% mai bune decât modelul TDNN-CNN. În general, s-a păstrat o diferență de aproximativ 15% între testele cu Speechdata și cele cu Telephdata. Experimentele au arătat că folosind câte o rețea specializată pentru fiecare cuvânt se obțin rezultate mai bune la recunoaștere, chiar dacă faza de instruire durează în mod evident mai mult.

Recunoașterea vocalelor cu rețele neurale concurente. Experimente

După ce am văzut că modelul CNN aduce îmbunătățiri remarcabile ratelor de recunoaștere a vorbitorilor în comparație cu modelele clasice, în această secțiune ne vom concentra asupra recunoașterii unor vocale din limba română. Am creat o nouă bază de date procesând prin analiza cepstrală bazată pe scala mel a pronunțiilor în limba română ale celor 10 cifre. Fiecare dintre cei 4 subiecți a pronunțat aceste cuvinte de câte 10 ori. De fiecare dată am extras vectorii de instruire a sistemului de recunoaștere din primele 5 repetiții, păstrând ultimele 5 repetiții pentru teste. Am avut astfel la dispoziție 200 de repetiții pentru antrenarea sistemului și alte 200 pentru verificarea sa.

Ca și la recunoașterea vorbitorilor, am realizat un set de experimente folosind mai întâi o singură rețea neurală pentru recunoașterea tuturor vocalelor, iar apoi CNN. De data aceasta am

testat doar rețeaua Kohonen, date fiind rezultatele pe care le-am obținut la recunoașterea vorbitorilor și i-am comparat comportamentul cu cel al unui SOM-CNN.

Pentru varianta care folosește un singur SOM am instruit rețeaua cu întreaga secvență de vectori obținuți după preprocesarea semnalelor vocale selectate. Am instruit în două etape o rețea Kohonen cu 10x15 noduri prin algoritmul SOFM descris în paragraful 2.9.2. Prima etapă, cea de organizare a clusterelor, s-a desfășurat de-a lungul a 1000 de pași și vecinătatea a scăzut treptat până la un singur neuron. În a doua etapă, instruirea s-a făcut în 10000 de pași, iar vecinătatea a rămas fixată la dimensiunea minimă. În urma instruirii și a calibrării rețelei neurale cu vectorii de instruire am obținut un set de prototipuri etichetate a cărui structură este cea din Tabelul 4.

Tabelul 4. Numărul de vectori de instruire a SOM și SOM-CNN, numărul de prototipuri obținut în urma instruirii SOM și numărul de prototipuri obținut după instruirea SOM-CNN.

	A	E	I	O	U	Ă
Instruire	372	516	339	525	453	52
SOM	42	37	16	21	21	2
SOM-CNN	25	25	25	25	25	25

Se observă că fonemul *ă* este cel mai slab reprezentat din cauza volumului redus al datelor de instruire disponibile. Numărul total de prototipuri este mai mic decât cel al neuronilor din rețea pentru că nu toți neuronii au fost etichetați la calibrare.

Și aici se observă slaba reprezentare a prototipurilor fonemului *ă*. Prototipurile celorlalte foneme formează grupuri compacte și poziția clusterelor reflectă calitățile acustico-fonetice ale fonemelor. Instruirea componentelor SOM-CNN s-a făcut după gruparea manuală a vectorilor de instruire în șase clase. Fiecare rețea neurală componentă s-a specializat în recunoașterea unei singure clase. Am plasat în același grup atât realizările ca vocale cât și ca semivocale ale fonemelor. Am folosit șase rețele Kohonen cu câte 5x5 neuroni instruite de asemenea în două etape. Numărul total de neuroni al SOM-CNN este egal cu numărul de neuroni al SOM folosit la experimentul cu o singură rețea neurală. Aceasta înseamnă că numărul prototipurilor ar trebui să fie egal pentru ambele tipuri de experimente: 150. Diferența este minoră și apare datorită faptului că în primul caz nu toți neuronii au fost etichetați la calibrare, așa cum am arătat în Tabelul 4.

Vom descrie în continuare tehnica pe care am aplicat-o la recunoaștere. Zonele vocalizate din semnalul de test sunt preprocesate cu ajutorul unei ferestre din care se calculează câte un vector de componente cepstrale. Fereastra se deplasează cu un pas de 50 de eșantioane și obținem o colecție de vectori a căror succesiune descrie evoluția semnalului vocal. Pentru fiecare vector reținem poziția care îi corespunde în semnal și eroarea de cuantizare minimă, respectiv eticheta pe care le calculează rețeaua neurală. Experimental am stabilit un prag maxim al erorii de cuantizare pentru a elimina fonemele care se presupune că nu aparțin nici unei clase, de exemplu consoanele. Am obținut prin acest procedeu o succesiune de etichete de clase care arată cum au fost recunoscute vocalele de către sistem. În Figura 3 se poate vedea cum a fost recunoscută o repetiție a cuvântului *nouă* de SOM și SOM-CNN.

Se remarcă faptul că SOM nu recunoaște fonemul *ă* final. SOM a decis că în acea zonă se găsește doar de fonemul *o*. În vorbirea curentă, trecerea de la *u* la *ă* în cuvântul *nouă* se face prin ușoara inserare între ele a semivocalei *o*, fapt sesizat atât de SOM cât și de SOM-CNN.

Rezultate experimentale

Pentru a compara performanțele SOM și SOM-CNN, în Tabelul 5 sunt descrise rezultatele următoarelor experimente [12]:

- E4.1: stabilirea procentului vocalelor și semivocalelor recunoscute de cele două modele;
- E4.2: proporția în care dimensiunea reală a zonei vocalei sau a semivocalei este sesizată de SOM și SOM-CNN;
- E4.3: numărul de succesiuni vocală-semivocală recunoscute corect;
- E4.4: procentul anunțurilor false în legătură cu existența unei vocale sau semivocale într-o regiune din semnal în care în realitate sunt consoane;

- E4.5: procentul confuziilor dintre două vocale.

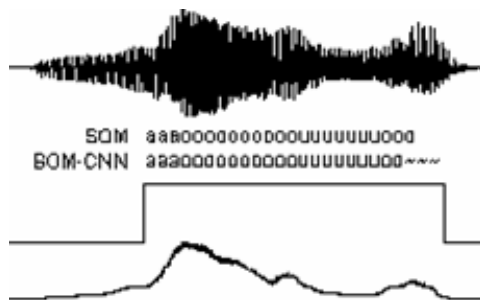


Figura 3. Interpretarea cuvântului *nouă* de către SOM și SON-CNN. Am folosit simbolul ~ pentru fonemul *ă*.

Experimentul 4.1 ne ajută să ne formăm o imagine corectă asupra capacității de a recunoaște noi vectori de către SOM și SOM-CNN. Progresul obținut cu ajutorul modelului nostru este de peste 10%. Am considerat că o vocală este recunoscută corect dacă secvența de etichete este cea reală pe zona centrală a segmentului vocalic, așa cum se poate vedea și în figura Tabelul 5.

Fenomenul coarticulației influențează recunoașterea în zonele de tranziție dintre două foneme. Prin experimentul 4.2 stabilim în ce măsură sistemele testate de noi determină dimensiunile corecte ale vocalelor și semivocalelor.

Atunci când apar în diftongi, vocalele sunt pronunțate cu mai multă forță și tind să domine semivocalele, așa cum se întâmplă și pentru cuvântul *doi*. Experimentul 4.3 stabilește procentul de astfel de succesiuni pentru care sunt recunoscute atât vocala cât și semivocala.

Experimentele 4.4 și 4.5 determină capacitatea SOM și a SOM-CNN de a evita confuziile. Energia semnalului vocal dă o primă informație referitoare la caracterul vocalizat sau nevocalizat al unei porțiuni din semnal. Rețeaua neurală stabilește pentru segmentele vocalizate care este succesiunea fonemelor. Avem, astfel, două nivele de decizie a existenței vocalelor. În experimentul 4.4 am calculat rata confuziilor între vocale și consoane.

În experimentul 4.5 am stabilit rata confuziilor între vocale, determinând care este procentul în care o vocală este înlocuită de sistemul de recunoaștere cu altă vocală.

Tabelul 5. Rezultatele experimentelor de recunoaștere a vocalelor și semivocalelor cu SOM și SOM-CNN.

	SOM	SOM-CNN
E4.1	73,68%	84,21%
E4.2	62,47%	73,93%
E4.3	50%	56,25%
E4.4	5,88%	5,48%
E4.5	13,07%	8,61%

Concluzii

Rezultatele obținute în urma experimentelor de recunoaștere a vorbitorilor folosind CNN au fost de fiecare dată superioare celor obținute folosind modelele clasice de rețele neurale. Pe de altă parte, rezultatele SOM-CNN au fost mai bune cu aproximativ 4% față de cele ale MLP-CNN și cu 1% față de TDNN-CNN.

Am testat SOM și SOM-CNN pentru recunoașterea unor vocale din limba română și am constatat că procentul vocalelor și semivocalelor recunoscute de SOM-CNN este superior celui obținut cu SOM cu mai mult de 10%. Regiunile din semnal corespunzătoare vocalelor și semivocalelor sunt mai cuprinzătoare atunci când se folosește SOM-CNN decât atunci când se folosește SOM.

Am văzut în acest capitol că rețelele neurale concurente implementează conceptul de concurență la nivelul unei colecții de rețele neurale. Experimentele demonstrează că modelul

rețelelor neurale concurente este superior în majoritatea cazurilor folosirii unei singure rețele neurale pentru rezolvarea aceleiași probleme.

În continuare vom atinge a doua problemă importantă a tezei și vom introduce o serie de algoritmi prin care se poate determina importanța intrărilor pentru rețelele neurale care folosesc algoritmi de instruire tip LVQ.

Recunoaștere prin calculul relevanțelor intrărilor folosind operatori OWA

Algoritmul Relevance Learning Vector Quantization (RLVQ) [10] este o variantă a algoritmului LVQ care permite determinarea printr-o metodă euristică a relevanțelor pentru componentele intrărilor. Metoda se bazează pe învățarea hebbiană și introduce factorii de ponderare a intrărilor, adaptați automat la problema de clasificare care trebuie implementată. Pe lângă stabilirea importanței intrărilor, această metodă conduce la îmbunătățirea performanțelor algoritmului LVQ dar, în același timp, poate fi folosită pentru reducerea numărului de intrări prin renunțarea la cele mai puțin influente.

În acest capitol propunem o nouă metodă de calcul al relevanțelor intrărilor în RLVQ. Relevanțele sunt calculate on-line ca ponderi ale unui operator Ordered Weighted Aggregation (OWA). Operatorii OWA reprezintă o familie de operatori de agregare și au fost definiți de Yager [93]. Principalul avantaj al acestui algoritm numit OWA-RLVQ este acela că face legătura dintre RLVQ și consistentul model matematic OWA.

Kohonen a introdus LVQ ca o metodă care definește o clasificare pe baza unui număr de vectori grupați într-un set de instruire. Așa cum am văzut deja, cuantizarea vectorială înseamnă înlocuirea vectorilor de instruire cu un număr redus de prototipuri care formează un *codebook*. Fiecare vector din *codebook* are atașată eticheta clasei din care face parte. Algoritmul LVQ adaptează iterativ acești vectori prin optimizarea unui criteriu global bazat pe distanța euclidiană.

Algoritmul LVQ standard nu face distincția între componentele vectoriale mai influente și cele mai puțin influente, importanța lor fiind considerată egală. Spre deosebire de această abordare, algoritmul *Distinction Sensitive Learning Vector Quantizer (DSLQV)* introdus în [68] folosește o pondere modificabilă pentru fiecare componentă vectorială și folosește o funcție de distanță ponderată pentru clasificare. Se utilizează un algoritm euristic iterativ pentru adaptarea acestor ponderi la specificul problemei: influența componentelor care în mod frecvent generează o clasificare greșită este diminuată, în timp ce influența componentelor care contribuie la clasificarea corectă este amplificată. Procesul de ponderare poate fi privit ca o transformare prin scalare a spațiului vectorilor de instruire într-un spațiu bazat pe o distanță ponderată: crește distanța dintre valorile componentelor cele mai puternic discriminative și o micșorează pe cea dintre valorile componentelor care aduc mai puțină informație. Aceasta facilitează distincția dintre clase și face sistemul mai puțin sensibil la zgomot [69].

Algoritmul DSLQV folosește o funcție de distanță ponderată care se bazează pe distanța euclidiană ponderată. Se pot folosi, însă, și alte distanțe, după cum se precizează în [68]. Modificarea algoritmului LVQ este minimală, fiind înlocuită funcția distanței. Ponderile și vectorii *codebook* se modifică în paralel în timpul instruirii, actualizarea având loc on-line, după procesarea fiecărui vector de intrare. Ponderile rezultate pot fi interpretate ca ranguri ale componentelor vectoriale și folosite pentru reducerea dimensiunii spațiului de intrare.

RLVQ este o variantă modificată a LVQ, similară cu DSLQV, și introduce factorii de relevanță pentru fiecare dimensiune a vectorilor de intrare. Metrica euclidiană este înlocuită cu una modificată prin asocierea unei ponderi fiecărei componente vectoriale. Adicional algoritmului standard, factorii de scalare sunt adaptați iterativ printr-o tehnică bazată pe învățarea hebbiană, oferind o imagine a influenței fiecărei componente vectoriale asupra procesului de clasificare.

Operatorii OWA reprezintă o clasă de operatori de agregare care realizează o agregare bazată pe reordonarea criteriilor care trebuie satisfăcute. Ponderile operatorului OWA sunt asociate pozițiilor acestor criterii obținute în urma reordonării, și nu unui criteriu anume.

Noul algoritm de calcul al relevanțelor pe care îl introducem în acest capitol calculează importanțele componentelor de intrare considerându-le ponderi ale unui operator OWA. Ponderile sunt adaptate on-line, în paralel cu instruirea prototipurilor. Metrica pe care o folosim este un caz particular al mediei generalizate de tip OWA [37]. Pe lângă recunoașterea eficientă a formelor, metoda noastră face și o conexiune interesantă între două abordări diferite: RLVQ și OWA.

Experimentele prezentate în finalul capitolului demonstrează capacitatea tehnicii propuse de noi de a rezolva probleme dificile, iar rezultatele confirmă acest lucru. Am folosit trei baze de date care reprezintă standarde în clasificarea formelor. Cu bazele de date Iris și Ionosphere am testat performanțele generale în recunoaștere ale algoritmului nostru. Pentru testele de recunoaștere a vorbirii am utilizat baza de date Deterding care conține un set de vectori de referință în domeniu, obținuți din pronunții ale vocalelor în diferite contexte.

Algoritmul Relevance LVQ (RLVQ)

Uneori nu toate componentele vectorilor de intrare au aceeași importanță în decizia pe care o ia un sistem de clasificare. Unele se pot dovedi mai influente decât altele, astfel încât putem deveni interesați în a calcula ponderile lor. RLVQ este un algoritm euristic, supervizat, care amplifică valoarea ponderilor acelor componente care contribuie cel mai mult la clasificarea corectă a vectorilor de instruire și slăbește ponderile componentelor care au o influență negativă. Clustering-ul este realizat de un set de prototipuri care sunt adaptate vectorilor de instruire printr-un algoritm LVQ standard.

Algoritmul RLVQ folosește metrica modificată $\|\mathbf{x}_i - \mathbf{w}_j\|_\lambda = \sqrt{\sum_{k=1}^n \lambda_k (x_{ik} - w_{jk})^2}$, unde

$\lambda = [\lambda_1 \dots \lambda_n]^t$ este vectorul relevanțelor, iar $\sum_{k=1}^n \lambda_k = 1$. Urmând o regulă similară algoritmului

LVQ, factorii de ponderare sunt adaptați iterativ astfel [10]:

Pasul 1. Pentru fiecare $k = 1 \dots n$

$$\lambda_k = \begin{cases} \max(\lambda_k - \alpha |x_{ik} - w_{jk}|, 0) & \text{când } \mathbf{x}_i \text{ este clasificat corect} \\ \lambda_k + \alpha |x_{ik} - w_{jk}| & \text{î n rest,} \end{cases}$$

unde $\alpha > 0$ este un parametru de instruire.

Pasul 2. Ponderile λ_k sunt normalizate pentru fiecare $k = 1 \dots n$.

Această regulă de actualizare a relevanțelor folosește principiul învățării hebbiene, așa cum se demonstrează în [10].

Operatorii OWA

Operatorii OWA sunt o categorie specială de operatori de agregare [93]. Un operator OWA de dimensiune n este o funcție $F: R^n \rightarrow R$, $F(a_1 \dots a_n) = \sum_{i=1}^n w_i a_i^*$, unde $\mathbf{W} = [w_1 \dots w_n]^t$ este un vector de ponderi asociat operatorului, cu $w_i \in [0,1]$, $\sum_{i=1}^n w_i = 1$, iar $\mathbf{A}^* = [a_1^* \dots a_n^*]^t$ este o reordonare descrescătoare a argumentelor lui $\mathbf{A} = [a_1 \dots a_n]^t$ în așa fel încât a_i^* este al i -lea cel mai mare dintre a_i , $a_1^* \geq \dots \geq a_n^*$.

Elementul central în utilizarea unui operator OWA este pasul de reordonare a argumentelor în urma căruia un argument particular a_i nu mai este asociat unei ponderi particulare w_i , ci ponderea w_i este asociată valorii de pe poziția i obținută în urma reordonării. Se demonstrează în [93] că operatorii OWA satisfac proprietățile de comutativitate, monotonie, idempotență și mărginire.

Algoritmul OWA - Relevance LVQ (OWA-RLVQ)

În această secțiune introducem un nou algoritm [14] care calculează ponderile unui operator OWA ca relevanțe ale componentelor vectorilor de instruire pentru probleme de clustering supervizat, așa cum se poate vedea în figura 4. Algoritmul LVQ1 trebuie reformulat pentru a minimiza o funcție obiectiv bazată pe această distanță modificată. Calculăm $\Delta \mathbf{w}_j^* = \eta \lambda \mathbf{I}(\mathbf{x}_i - \mathbf{w}_j)^*$ dacă \mathbf{x}_i este clasificat corect conform distanței D_{ij}^* și $\Delta \mathbf{w}_j^* = -\eta \lambda \mathbf{I}(\mathbf{x}_i - \mathbf{w}_j)^*$ dacă \mathbf{x}_i nu este clasificat corect. În relațiile de mai sus am notat cu $(\mathbf{x}_i - \mathbf{w}_j)^*$ vectorul diferență ale cărui componente sunt reordonate, iar relevanțele se vor aplica după reordonare. Din această cauză, setul de prototipuri obținut în urma acestei proceduri nu va fi același cu cel obținut în urma algoritmului LVQ standard pentru că reflectă două abordări diferite ale instruirii.

Fie $\mathbf{x}_i \in R^n$ un vector de instruire, $i = 1 \dots N$ fiind numărul de vectori de instruire. Considerăm \mathbf{w}_k , $k = 1 \dots P$ prototipurile care pot fi calculate printr-un algoritm LVQ. Pentru a calcula ponderile OWA, vom considera ca operator de agregare următoarea distanță modificată:

$D_{ij}^* = \sqrt{\sum_{k=1}^n \lambda_k (|x_{ik} - w_{jk}|^*)^2}$, unde $\sum_{k=1}^n \lambda_k = 1$ și $|x_{ik} - w_{jk}|^*$ este cea de-a k -a cea mai mare distanță dintre componentele corespondente ale vectorului de instruire și vectorului prototip.

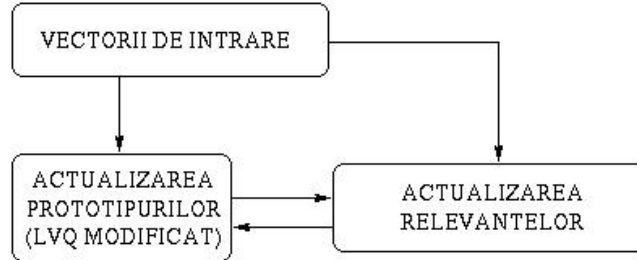


Figura 4. Reprezentarea schematică a modului în care se actualizează relevanțele și prototipurile prin algoritmul OWA-RLVQ. Algoritmul LVQ este modificat prin înlocuirea distanței euclidiene cu distanța D_{ij}^* , iar relevanțele sunt calculate ca ponderi ale unui operator OWA.

Algoritmul LVQ1 trebuie reformulat pentru a minimiza o funcție obiectiv bazată pe această distanță modificată. Calculăm $\Delta \mathbf{w}_j^* = \eta \lambda \mathbf{I}(\mathbf{x}_i - \mathbf{w}_j)^*$ dacă \mathbf{x}_i este clasificat corect conform distanței D_{ij}^* și $\Delta \mathbf{w}_j^* = -\eta \lambda \mathbf{I}(\mathbf{x}_i - \mathbf{w}_j)^*$ dacă \mathbf{x}_i nu este clasificat corect. În relațiile de mai sus am notat cu $(\mathbf{x}_i - \mathbf{w}_j)^*$ vectorul diferență ale cărui componente sunt reordonate, iar relevanțele se vor aplica după reordonare. Din această cauză, setul de prototipuri obținut în urma acestei proceduri nu va fi același cu cel obținut în urma algoritmului LVQ standard pentru că reflectă două abordări diferite ale instruirii.

Un vector prototip \mathbf{w}_k va eticheta cu numele clasei sale toți vectorii de intrare care îndeplinesc următoarea inegalitate: $|\mathbf{x}_i - \mathbf{w}_j|^* < |\mathbf{x}_i - \mathbf{w}_l|^*$, $\forall j \neq l$.

Fie $\lambda = [\lambda_1 \dots \lambda_n]^t$, $\mathbf{x}_i = [x_{i1} \dots x_{in}]^t$, $\mathbf{w}_j = [w_{j1} \dots w_{jn}]^t$ și $\mathbf{d} = [d_1 \dots d_n]^t$, unde $d_k = x_{ik} - w_{jk}$, $k = 1 \dots n$. Dacă \mathbf{x}_i este clasificat corect conform distanței D_{ij}^* , o valoare mică a lui $|d_k|^*$ ar trebui să inducă o valoare mare pentru $\Delta\lambda_k$, iar o valoare mare a lui $|d_k|^*$ ar trebui să conducă la o valoare mică pentru $\Delta\lambda_k$. Astfel, pentru o clasificare corectă conform criteriului formulat anterior, $|d_k|^* \leq |d_{k'}|^*$ implică $\Delta\lambda_k \geq \Delta\lambda_{k'}$, adică $-|d_k|^* \geq -|d_{k'}|^*$ înseamnă $\Delta\lambda_k \geq \Delta\lambda_{k'}$, pentru $k, k' = 1 \dots n$. Putem, astfel, să luăm $\Delta\lambda_k = -\alpha|d_k|^*$ sau $\Delta\lambda_k = -\alpha|x_{ik} - w_{jk}|^*$, unde $\alpha > 0$ este un parametru de instruire. Atunci când clasificarea conform aceluiași criteriu este incorectă, $|d_k|^* \leq |d_{k'}|^*$ implică $\Delta\lambda_k \leq \Delta\lambda_{k'}$, pentru $k, k' = 1 \dots n$. Putem lua $\Delta\lambda_k = \alpha|d_k|^*$ sau $\Delta\lambda_k = \alpha|x_{ik} - w_{jk}|^*$.

Folosim transformarea $\lambda_k = \frac{e^{\lambda_k}}{\sum_{i=1}^n e^{\lambda_i}}$ pentru $i = 1 \dots n$ pentru a ne asigura că $\sum_{k=1}^n \lambda_k = 1$ și $\lambda_k = [0,1]$ care sunt constrângerile impuse ponderilor operatorilor OWA.

Următoarea procedură actualizează on-line atât relevanțele cât și rangul fiecărei componente a vectorilor de intrare.

Pasul 1. Inițializează η și α . Inițializează $\lambda_k = \frac{1}{n}$, $k = 1 \dots n$, unde n este numărul de componente ale vectorului de intrare.

Pasul 2. Inițializează prototipurile.

Pasul 3. Actualizează prototipurile conform regulii LVQ modificate:

$$\mathbf{w}_j^* = \begin{cases} \mathbf{w}_j^* + \eta\lambda\mathbf{I}(\mathbf{x}_i - \mathbf{w}_j)^* & \text{daca } \mathbf{x}_i \text{ este clasificat corect conform distantei } D_{ij}^* \\ \mathbf{w}_j^* - \eta\lambda\mathbf{I}(\mathbf{x}_i - \mathbf{w}_j)^* & \text{in rest.} \end{cases}$$

Pasul 4. Actualizează relevanțele:

$$\lambda_k = \begin{cases} \lambda_k - \alpha|x_{ik} - w_{jk}|^* & \text{daca } \mathbf{x}_i \text{ este clasificat corect conform distantei } D_{ij}^* \\ \lambda_k + \alpha|x_{ik} - w_{jk}|^* & \text{in rest.} \end{cases}$$

Pasul 5. Transformă relevanțele: $\lambda_k = \frac{e^{\lambda_k}}{\sum_{i=1}^n e^{\lambda_i}}$ pentru $k = 1 \dots n$.

Pasul 6. Calculează ponderea fiecărei componente a vectorului de intrare ca medie a indicilor de poziție calculați înaintea pasului de ordonare, pentru toți pașii parcurși de la începutul instruirii.

Pasul 7. Repetă pașii 3-6 pentru fiecare vector de instruire.

Acest algoritm calculează ponderile unui operator OWA ca relevanțe prin minimizarea distanței modificate D_{ij}^* care este și valoarea agregată. Trebuie să facem distincția între relevanțe și rangul unei componente. Rangul este atașat unei componente. Relevanța este atașată unei poziții specifice din vectorul ordonat al distanței pe componente dintre un vector de intrare și un prototip. Aceasta explică semnificația pasului 6.

Experimente

În studiul nostru am testat algoritmul OWA-RLVQ pe baze de date standard pentru a vedea care este structura tipică a vectorilor de relevanțe și care sunt performanțele în recunoaștere.

Baza de date Iris [9] conține 3 clase alcătuite din câte 50 de vectori. Două dintre ele nu sunt liniar separabile. Problema este detectarea claselor pe baza celor 4 componente vectoriale. Am

instruit OWA-RLVQ cu 6 prototipuri și am obținut o rată medie de recunoaștere de 96,6%. Un vector tipic al relevanțelor este $[0,15\ 0,21\ 0,23\ 0,38]^t$. Am luat $\eta = 0,3$ și $\alpha = 0,2$. Experimentele au arătat că a patra componentă vectorială are influența cea mai mare, iar prima componentă vectorială este cea mai puțin semnificativă, aceste rezultate fiind confirmate și de cele din [10]. Rangurile obținute pentru fiecare componentă după instruirea cu RLVQ și OWA-RLVQ folosind același set de prototipuri inițiale sunt prezentate în Tabelul 6.

Tabelul 6. Rangul componentelor vectoriale pentru baza de date Iris.

Rangul	1	2	3	4
Componentele RLVQ	4	2	3	1
Componentele OWA-RLVQ	4	3	2	1
Ponderile componentelor OWA-RLVQ	1,86	1,44	1,24	1,17

Baza de date Deterding (Vowel Recognition) [9] conține vectori extrași din pronunțiile vocalelor în 11 contexte. Fiecare pronunție este repetată de 6 ori de cei 15 vorbitori. Problema cere să se folosească pronunțiile primilor 8 vorbitori pentru instruire și pronunțiile ultimilor 7 vorbitori pentru recunoaștere. Un vector tipic al relevanțelor obținut prin algoritmul OWA-RLVQ este $[0,032\ 0,039\ 0,043\ 0,044\ 0,077\ 0,136\ 0,137\ 0,15\ 0,163\ 0,173]^t$. Rata de recunoaștere pe care am obținut-o cu acest algoritm a fost de 46,75%. Rata medie de recunoaștere pentru LVQ1 la acest experiment a fost de 44,8%, iar pentru RLVQ a fost de 46,32%. Problema este cunoscută ca fiind una dificilă, de aceea am folosit 59 de prototipuri. În experimentele OWA-RLVQ am luat $\eta = 1,7$ și $\alpha = 1,9$. Rangurile obținute pentru această bază de date sunt prezentate în Tabelul 7. Componenta 2 este considerată cea mai importantă de RLVQ și pe poziția a doua de OWA-RLVQ, după cum se poate remarca studiind aceste rezultate. Componenta 10 este cea mai puțin importantă pentru ambele modele.

Tabelul 7. Rangul componentelor vectoriale pentru baza de date Deterding.

Rangul	1	2	3	4	5	6	7	8	9	10
Componentele RLVQ	2	5	1	9	6	3	4	8	7	10
Componentele OWA-RLVQ	8	2	4	5	6	9	3	7	1	10
Ponderile componentelor OWA-RLVQ	5,21	5,21	5,20	5,17	5,16	5,15	5,15	5,14	5,14	5,13

Baza de date Ionosphere [9] constă din 351 de vectori de date cu câte 34 de caracteristici. Vectorilor le sunt asociate etichetele "bad" și "good", fiind vorba de o clasificare binară. Problema constă în folosirea primilor 200 de vectori, echilibrați numeric între exemple pozitive și negative, pentru instruire și ultimii 151 pentru test. Am folosit 8 prototipuri, iar valorile parametrilor pentru instruirea OWA-RLVQ au fost $\eta = 3,3$ și $\alpha = 3,5$. Rata medie de recunoaștere a fost de 93,37%, în timp ce pentru LVQ1 am obținut 90,06%, iar pentru RLVQ am obținut 92,71%. Ratele uzuale de recunoaștere corectă pentru această bază de date încep, așa cum se arată în [9], de la 90%. În acest context, rezultatele obținute de noi sunt foarte bune. Rangurile celor mai importante 5 componente vectoriale obținute cu RLVQ și OWA-RLVQ sunt prezentate în Tabelul 8.

Tabelul 9 compară ratele de recunoaștere obținute cu LVQ1, RLVQ și OWA-RLVQ folosind de fiecare dată același set inițial de prototipuri. În general am obținut rezultate mai bune cu algoritmul OWA-RLVQ față de cele obținute cu RLVQ. Ambele metode sunt superioare algoritmului LVQ1, fapt care ilustrează utilitatea relevanțelor în clasificare. Trebuie accentuată observația că valorile relevanțelor obținute cu RLVQ și OWA-RLVQ nu se suprapun în mod obligatoriu pentru că reflectă două abordări diferite. În cazul metodei propuse de noi, relevanțele se referă la distanțele reordonate, în timp ce algoritmul RLVQ generează un set de valori asociate în mod precis anumitor componente ale vectorilor de intrare.

Tabelul 8. Rangul componentelor vectoriale pentru baza de date Ionosphere. Sunt reprezentate cele mai importante 5 componente.

Rangul	1	2	3	4	5
Componentele RLVQ	20	28	26	12	6
Componentele OWA-RLVQ	14	12	1	3	28
Ponderile componentelor OWA-RLVQ	19,20	19,16	19,10	19,07	19,06

Tabelul 9. Comparație între ratele de recunoaștere obținute cu LVQ1, RLVQ și OWA-RLVQ.

Baza de date	LVQ1	RLVQ	OWA-RLVQ
Iris	91,33%	95,33%	96,60%
Deterding	44,80%	46,32%	46,75%
Ionosphere	90,06%	92,71%	93,37%

Concluzii

În acest capitol am introdus o nouă metodă de calcul al relevanțelor dimensiunilor vectorilor de intrare ca ponderi OWA. Algoritmul propus calculează on-line relevanțele, oferind posibilitatea unei permanente adaptări la datele de intrare. Rezultatele experimentale au arătat că algoritmul propus de noi oferă o bună rată de recunoaștere. În același timp, factorii de relevanță pot fi utilizați pentru stabilirea on-line a rangului fiecărei dimensiuni a vectorilor de intrare.

Este interesant de observat că abordarea noastră este o nouă metodă de calcul al ponderilor OWA. În comparație cu metoda descrisă în [21] și [94] care folosește tehnica gradientului descrescător, noi realizăm acest lucru în mod dinamic.

În capitolul următor vom dezvolta două noi metode care calculează factorii de relevanță prin maximizarea unor mărimi bazate pe informația mutuală și pe energia informațională.

Recunoaștere prin calculul relevanțelor intrărilor folosind noțiuni de teoria informației

Selecția componentelor vectorilor de intrare într-un sistem de clasificare este o etapă de preprocesare absolut necesară, în special atunci când avem de a face cu cantități foarte mari de date. Introducem în acest capitol algoritmul Energy Relevance LVQ (ERLVQ) bazat pe energia informațională Onicescu [65] ca o metodă incrementală de instruire pentru clasificare supervizată și calcul al relevanțelor. Algoritmul Mutual Information Relevance LVQ (MIRLVQ) propune o tehnică alternativă de dezvoltare a acestei metode pornind de la informația mutuală.

Informația mutuală este o mărime care a fost utilizată pentru a implementa diverse metode de selecție a intrărilor [5], [49]. În acest caz, informația mutuală evaluează "conținutul informațional" al fiecărei componente în mod individual, raportat la clasa de ieșire. Metoda de selecție a componentelor constă în căutarea unui subset de componente relevante din setul inițial de componente disponibile. Acest subset se alege în așa fel încât să maximizeze informația mutuală. O importanță însemnată în acest algoritm o are estimarea informației mutuale. Estimarea informației mutuale este o problemă dificilă datorită funcțiilor de densitate de probabilitate condiționată și a complexității computaționale ridicate. Mulți algoritmi de selecție a componentelor vectoriale care se bazează pe informația mutuală folosesc histograma ca estimator al densității de probabilitate [5], [49]. În spații cu multe dimensiuni, însă, histograma nu este practică și nici foarte precisă [32].

Informația mutuală bazată pe entropia Renyi pătratică [70] a fost utilizată recent într-o metodă eficientă de selecție a caracteristicilor [32]. Acest algoritm numit *toward-optimal feature selection methodology - mutual information (OFS-MI)* constă din două criterii bazate pe informația mutuală și un algoritm de căutare. Primul criteriu numit *feature relevancy criterion (FRC)* are scopul de a

selecta componentele relevante, iar al doilea, *feature similarity criterion (FSC)*, este folosit pentru a reduce redundanța între componentele selectate.

Torkkola [80], [81], [82], [83], [84] maximizează informația mutuală pătratică obținând o metodă de instruire a unui sistem pentru extragerea caracteristicilor. Un astfel de sistem transformă vectorii de intrare în vectori cu un număr mai mic de dimensiuni prin recalcularea componentelor, fără a afecta performanțele clasificatorului. Diferența dintre un sistem de selecție a caracteristicilor și unul de extragere (transformare, construcție, generare) a caracteristicilor este aceea că primul folosește mai departe un subset al componentelor vectoriale originale, în timp ce al doilea construiește vectori cu un număr redus de dimensiuni prin recalcularea acestora, fără a păstra în mod necesar valorile inițiale. Metoda lui Torkkola adaptează informația mutuală pătratică din [70] pentru variabile aleatoare discrete și o maximizează printr-o metodă de gradient ascendent pentru a obține o transformare convenabilă.

Algoritmul *Mutual Information Relevance LVQ (MIRLVQ)* propus de noi în acest capitol maximizează informația mutuală pătratică pentru a obține relevanțele care conduc la îmbunătățirea performanțelor unui clasificator bazat pe un algoritmul LVQ. Algoritmul *Energy Relevance LVQ (ERLVQ)* este similar lui MIRLVQ, însă maximizează o mărime bazată pe energia informațională. Experimental vom arăta că acești algoritmi conduc la rate de recunoaștere mai bune decât algoritmul OWA-RLVQ introdus tot de noi.

Informația mutuală pătratică

Informația mutuală este o măsură a dependenței dintre două variabile aleatoare și se definește prin diferența de entropii Shannon $I(X, Y) = H(Y) - H(Y|X)$, unde X și Y sunt două variabile aleatoare.

Deoarece entropia Shannon nu poate fi estimată din datele de instruire cu un efort computațional rezonabil, folosim o soluție alternativă de estimare a informației mutuale propusă de Torkkola în [84]. Acesta a arătat că informația mutuală dintre o variabilă aleatoare discretă C și o variabilă aleatoare continuă Y se poate estima prin relația:

$$I_{ED}(C, Y) = \sum_c \int_{\mathbf{y}} p^2(c, \mathbf{y}) d\mathbf{y} + \sum_c \int_{\mathbf{y}} p^2(c) p^2(\mathbf{y}) d\mathbf{y} - 2 \sum_c \int_{\mathbf{y}} p(c, \mathbf{y}) p(c) p(\mathbf{y}) d\mathbf{y}.$$

Notăm cu M_p numărul de eșantioane din clasa p , cu \mathbf{y}_k eșantionul numărul k din întreg setul de eșantioane disponibile fără a ne interesa clasa căreia îi aparține și cu \mathbf{y}_{pj} același eșantion arătând că el aparține clasei p și că are indicele j în clasă.

Rescriem relația de mai sus folosind aproximările densităților de probabilitate cu ferestre Parzen și rezultă:

$$I_{ED}(C, Y) = \frac{1}{N^2} \sum_{p=1}^M \sum_{k=1}^{M_p} \sum_{l=1}^{M_p} G(\mathbf{y}_{pk} - \mathbf{y}_{pl}, 2\sigma^2 \mathbf{I}) + \frac{1}{N^2} \left(\sum_{p=1}^M \left(\frac{M_p}{N} \right)^2 \right) \sum_{k=1}^N \sum_{l=1}^N G(\mathbf{y}_k - \mathbf{y}_l, 2\sigma^2 \mathbf{I}) - 2 \frac{1}{N^2} \sum_{p=1}^M \frac{M_p}{N} \sum_{j=1}^{M_p} \sum_{k=1}^N G(\mathbf{y}_{pj} - \mathbf{y}_k, 2\sigma^2 \mathbf{I}).$$

Am folosit metoda ferestrelor Parzen care estimează densitățile de probabilitate prin medii ale valorilor calculate prin diverse nuclee. Atunci când se folosește un nucleu gaussian, relația de

aproximare se poate scrie astfel: $p(\mathbf{y}) \cong \frac{1}{N} \sum_{n=1}^N G(\mathbf{y} - \mathbf{y}_n, \sigma^2 \mathbf{I})$.

Am folosit, de asemenea, următoarea proprietate a nucleului gaussian:

$$\int_{-\infty}^{\infty} G(\mathbf{y} - \mathbf{y}_i, \sigma^2 \mathbf{I}) G(\mathbf{y} - \mathbf{y}_j, \sigma^2 \mathbf{I}) d\mathbf{y} = G(\mathbf{y}_i - \mathbf{y}_j, 2\sigma^2 \mathbf{I}).$$

Algoritmul Mutual Information Relevance LVQ (MIRLVQ)

În această secțiune introducem o nouă metodă de instruire a importanței componentelor vectorilor de intrare, obținută prin maximizarea informației mutuale dintre etichetele claselor și o transformare a vectorilor de intrare. Așa cum am arătat în secțiunea precedentă, informația mutuală pătratică este o sumă de termeni de gradul doi, fiind dezvoltată pornind de la similaritatea cu entropia pătratică Renyi. Informația mutuală pătratică estimată cu ferestre Parzen oferă avantajul că se calculează ca sumă de gaussiene, fiecare dintre ele putând fi evaluată folosind perechi de eşantioane din setul de instruire.

Considerăm că avem o variabilă aleatoare X , iar \mathbf{x}_i , $i = 1 \dots N$ este un set de realizări ale acestei variabile aleatoare. Realizările vor fi chiar vectorii de intrare. Considerăm o variabilă aleatoare discretă C și c_j , $j = 1 \dots M$ sunt realizările sale care reprezintă etichetele claselor din care fac parte vectorii \mathbf{x}_i . Pentru ca instruirea să fie eficientă, trebuie ca fiecărei clase să i se asocieze mai mulți vectori de intrare.

Algoritmul Weighted LVQ

Am arătat că actualizarea factorilor de relevanță prin algoritmi DSLVQ și RLVQ este motivată euristic. Din acest motiv, am introdus algoritmul OWA-RLVQ care calculează relevanțele ca ponderi ale unui operator OWA prin minimizarea distanței modificate D_{ij}^* . Algoritmul MIRLVQ va folosi metrica ponderată D_{ij} care a fost introdusă în algoritmul RLVQ.

Includem aceste variații ale lui LVQ într-o clasă generală de algoritmi pe care o numim *Weighted LVQ*. Un algoritm *weighted LVQ* are următoarele caracteristici:

- Folosește o distanță ponderată;
- Relevanțele și prototipurile sunt actualizate simultan în timpul fazei de instruire. Actualizarea poate fi realizată incremental după prelucrarea fiecărui vector de instruire;
- Relevanțele care se obțin după încheierea algoritmului de instruire pot fi privite ca ranguri ale componentelor vectorilor de intrare și se pot utiliza pentru reducerea spațiului intrărilor (*feature selection*).

Un algoritm *weighted LVQ* constă din următorii pași:

Pasul 1. Găsește cel mai apropiat prototip \mathbf{w}_j , câștigătorul, pentru care valoarea lui $\|\mathbf{x}_i - \mathbf{w}_j\|_\lambda$ este minimă pentru întreaga colecția de vectori prototip.

Pasul 2. Actualizează prototipul \mathbf{w}_j câștigător după un algoritm LVQ.

Pasul 3. Actualizează vectorul relevanțelor λ .

Pasul 4. Actualizează rangul fiecărei componente a vectorilor de intrare ca o medie a pașilor anteriori.

Ne propunem să transpunem algoritmi de tip *weighted LVQ* într-un cadru teoretic diferit. Introducem algoritmul MIRLVQ ca un algoritm din această clasă bazat pe maximizarea informației mutuale. O problemă majoră pe care o ridică această abordare este marea complexitate computațională pe care o implică estimarea informației mutuale. Pentru a evita acest dezavantaj, vom folosi metoda de estimare a informației mutuale cu ferestre Parzen.

Adaptarea factorilor de relevanță

Notăm $\mathbf{y}_i = \lambda \mathbf{I}(\mathbf{x}_i - \mathbf{w}_j)$, unde \mathbf{x}_i este vectorul de intrare i , \mathbf{w}_j este prototipul j obținut cu un algoritm din categoria *weighted LVQ*, λ este vectorul relevanțelor și \mathbf{y}_i este vectorul de ieșire. Aceasta este transformarea pe care dorim să o implementăm, λ fiind un vector global care caracterizează toate perechile intrare-prototip. Considerăm informația mutuală $I(c_j; \mathbf{y}_i) = I(c_j; \mathbf{x}_i, \mathbf{w}_j, \lambda)$ unde \mathbf{y}_i sunt realizări ale variabilei aleatoare continue Y . În relația anterioară, am folosit două notații care au aceeași semnificație cu $I(C, Y)$. Această egalitate înglobează ipoteza formulată în relația prin care l-am definit pe \mathbf{y}_i , conform căreia ieșirea sistemului

nostru se calculează folosind un vector de intrare \mathbf{x}_i , un prototip \mathbf{w}_j asociat lui calculat printr-un algoritm tip weighted LVQ și vectorul relevanțelor λ care este comun tuturor vectorilor din setul de instruire. Atunci când vectorul de intrare \mathbf{x}_i este asemănător prototipului \mathbf{w}_j , componentele vectorului λ trebuie întărite. Putem interpreta această similaritate prin faptul că informația mutuală dintre clasa c_j și valoarea agregată \mathbf{y}_i este mare. Pornind de la această observație, putem calcula relevanțele prin maximizarea informației mutuale și folosim tehnica gradientului crescător. La

fiecare pas de instruire $t+1$ vom avea $\lambda^{(t+1)} = \lambda^{(t)} + \alpha \frac{\partial}{\partial \lambda} \Leftrightarrow \lambda^{(t+1)} = \lambda^{(t)} + \alpha \sum_{i=1}^n \frac{\partial}{\partial \mathbf{y}_i} \mathbf{I}(\mathbf{x}_i - \mathbf{w}_j)$.

Trebuie să estimăm acum $\frac{\partial}{\partial \mathbf{y}_i}$ și pentru aceasta folosim măsura $I_{ED}(C, Y)$ a informației

mutuale dintre o variabilă aleatoare continuă și una discretă. Implementăm un algoritm de gradient stohastic folosind două eșantioane aleatoare \mathbf{x}_1 și \mathbf{x}_2 reprezentative pentru întreaga bază de date [83]. Prin estimarea informației mutuale cu ferestre Parzen, se pot face ajustări ale lui λ în direcția gradientului pozitiv. Tratând separat cele două cazuri, în care eșantioanele sunt din aceeași clasă și în care eșantioanele sunt din clase diferite, se obține formula de ajustare a factorilor de relevanță:

$$\lambda^{(t+1)} = \lambda^{(t)} - \frac{\alpha}{8\sigma^2} G(\mathbf{y}_1 - \mathbf{y}_2, 2\sigma^2 \mathbf{I})(\mathbf{y}_2 - \mathbf{y}_1) \mathbf{I}[(\mathbf{x}_1 - \mathbf{w}_{j(1)}) - (\mathbf{x}_2 - \mathbf{w}_{j(2)})],$$

unde prin $\mathbf{w}_{j(1)}$ și $\mathbf{w}_{j(2)}$ am notat prototipurile câștigătoare pentru vectorii \mathbf{x}_1 și \mathbf{x}_2 .

Am stabilit această regulă de modificare iterativă a relevanțelor prin maximizarea informației mutuale $I(C, Y)$. Vom dezvolta în continuare o metodă similară de calcul al factorilor de relevanță prin maximizarea unei mărimi bazate pe energia informațională a variabilelor aleatoare. În final, vom detalia algoritmul care calculează în paralel atât prototipurile \mathbf{w}_j cât și relevanțele λ .

Energia informațională

Pentru variabila aleatoare continuă X , energia informațională introdusă de O. Onicescu în [65] se definește astfel: $E(X) = \int_{-\infty}^{\infty} p^2(\mathbf{x}) d\mathbf{x}$, unde $p(\mathbf{x})$ este funcția de densitate de probabilitate a variabilei aleatoare. În cazul în care avem o variabilă aleatoare discretă C , energia informațională se definește prin: $E(C) = \sum_{i=1}^n p^2(c_i)$, unde distribuția aleatoare este definită prin $p(c_k) \geq 0$ și

$$\sum_{k=1}^n p(c_k) = 1.$$

Energia informațională medie a variabilei C condiționată de variabila aleatoare T se definește astfel: $E(C|T) = \sum_{k=1}^m p(t_k) E(C|t_k)$, unde $E(C|t_k) = \sum_{i=1}^n p^2(c_i|t_k)$.

În [2] se definește o măsură de dependență unilaterală între două variabile aleatoare: $o(C, T) = E(C|T) - E(C)$. Valoarea $o(C, T)$ corespunde cantității de informație despre C pe care o înglobează T , putând fi privită ca un indicator al dependenței unilaterale ce caracterizează variabila aleatoare C în raport cu variabila aleatoare T . Se poate constata, așadar, că $o(C, T)$ și $I(C, T)$ măsoară practic același fenomen [2].

Algoritmul Energy Relevance LVQ (ERLVQ)

Inițial, $o(X, Y)$ a fost definită pentru două variabile aleatoare discrete. Ea poate fi însă extinsă pentru variabile aleatoare continue sau variabile aleatoare continue împreună cu variabile aleatoare discrete. Maximizăm $o(Y, C)$ pentru a obține valorile relevanțelor:

$$\lambda^{(t+1)} = \lambda^{(t)} + \alpha \sum_{i=1}^N \frac{\partial \phi(Y, C)}{\partial \lambda_i} \mathbf{I}(\mathbf{x}_i - \mathbf{w}_j).$$

Folosind aproximările cu ferestre Parzen obținem:

$$\phi(Y, C) = \frac{1}{N} \left(\sum_{p=1}^M \frac{1}{M_p} \right) \sum_{k=1}^{M_p} \sum_{l=1}^{M_p} G(\mathbf{y}_{pk} - \mathbf{y}_{pl}, 2\sigma^2 \mathbf{I}) - \frac{1}{N^2} \sum_{k=1}^N \sum_{l=1}^N G(\mathbf{y}_k - \mathbf{y}_l, 2\sigma^2 \mathbf{I}),$$

unde am folosit următoarele notații: N - numărul total de eșantioane, M - numărul de clase, M_p - numărul de eșantioane din clasa c_p . Pentru a dezvolta formula de actualizare a relevanțelor, folosim două eșantioane \mathbf{y}_1 și \mathbf{y}_2 consecutive ca reprezentante ale claselor. Și avem două cazuri, cel în care eșantioanele aparțin aceleiași clase și cel în care eșantioanele sunt în clase diferite. Obținem în final formula de actualizare a relevanțelor:

$$\lambda^{(t+1)} = \lambda^{(t)} - \frac{\alpha}{4\sigma^2} G(\mathbf{y}_1 - \mathbf{y}_2, 2\sigma^2 \mathbf{I})(\mathbf{y}_2 - \mathbf{y}_1) \mathbf{I}[\mathbf{x}_1 - \mathbf{w}_{j(1)} - \mathbf{x}_2 + \mathbf{w}_{j(2)}].$$

Următoarea procedură actualizează simultan prototipurile și factorii de relevanță:

Pasul 1. Inițializează η și α . Inițializează vectorul relevanțelor: $\lambda_k = \frac{1}{n}$, $k = 1 \dots n$.

Pasul 2. Inițializează prototipurile.

Pasul 3. Actualizează vectorii prototip conform regulii LVQ modificate folosind distanța D_{ij} :

$$\mathbf{w}_j = \begin{cases} \mathbf{w}_j + \eta \lambda \mathbf{I}(\mathbf{x}_i - \mathbf{w}_j) & \text{daca } \mathbf{x}_i \text{ este clasificat corect} \\ \mathbf{w}_j - \eta \lambda \mathbf{I}(\mathbf{x}_i - \mathbf{w}_j) & \text{in rest.} \end{cases}$$

Pasul 4. Actualizează relevanțele:

$$\lambda^{(t+1)} = \lambda^{(t)} - \frac{\alpha}{4\sigma^2} G(\mathbf{y}_1 - \mathbf{y}_2, 2\sigma^2 \mathbf{I})(\mathbf{y}_2 - \mathbf{y}_1) \mathbf{I}[\mathbf{x}_1 - \mathbf{w}_{j(1)} - \mathbf{x}_2 + \mathbf{w}_{j(2)}].$$

Pasul 5. Transformă relevanțele $\lambda_k = \frac{e^{\lambda_k}}{\sum_{i=1}^n e^{\lambda_i}}$ pentru $k = 1 \dots n$.

Pasul 6. Calculează rangul fiecărei componente a vectorului de intrare ca medie a rangului calculat la pașii anteriori.

Pasul 7. Repetă pașii 3-6 pentru fiecare vector de intrare.

Remarcăm asemănarea algoritmilor MIRLVQ și ERLVQ care, cu toate că sunt dezvoltați diferit, conduc la rezultate similare. Diferența este minoră și apare la pasul 4. Rezultatele experimentale sunt identice deoarece constanta care face diferență între cele două variante introduce doar o scalare a ratei de instruire α .

Experimente

Am testat algoritmi MIRLVQ și ERLVQ în aceleași condiții ca și OWA-RLVQ pentru a putea face o comparație obiectivă a rezultatelor și a performanțelor lor. Deoarece MIRLVQ și ERLVQ sunt similari, rezultatele înregistrate în tabelele Tabelul 10,

Tabelul 11, Tabelul 12 și Tabelul 13 sunt cele pentru ERLVQ. Ele sunt identice cu cele obținute cu MIRLVQ, cu observația că în primul caz valoarea constantei α trebuie înjumătățită.

Importanța componentelor poate fi diferită de cea obținută pentru OWA-RLVQ din următorul motiv: OWA-RLVQ este focalizat pe o separare cât mai bună a centrelor clusterelor. ERLVQ încearcă, prin definiție, o distincție cât mai bună la limita dintre cluster de deoarece folosește întotdeauna câte două eșantioane consecutive din clase diferite. Așadar, OWA-RLVQ găsește acele componente care sunt importante pentru accentuarea centrelor clusterelor, iar ERLVQ pe acele care fac o discriminare cât mai bună între două clase adiacente.

Comparația ratelor de recunoaștere pentru algoritmi LVQ1, RLVQ, OWA-RLVQ și ERLVQ din Tabelul 13 arată că ultimul dintre ei oferă cele mai bune rezultate pentru toate cele trei baze de

date testate. Pentru baza de date Deterding care reprezintă o cunoscută problemă de recunoașterea vorbirii, creșterea de performanță obținută cu ERLVQ este de aproape 1%. Această metodă oferă rezultate satisfăcătoare și pentru probleme generale de recunoaștere a formelor cum sunt Iris și Ionosphere pentru care performanțele rămân superioare.

Tabelul 10. Rangul componentelor vectoriale pentru baza de date Iris.

Rangul	1	2	3	4
Componentele RLVQ	4	2	3	1
Componentele OWA-RLVQ	4	3	2	1
Componentele ERLVQ	1	2	3	4

Tabelul 11. Rangul componentelor vectoriale pentru baza de date Deterding.

Rangul	1	2	3	4	5	6	7	8	9	10
Componentele RLVQ	2	5	1	9	6	3	4	8	7	10
Componentele OWA-RLVQ	8	2	4	5	6	9	3	7	1	10
Componentele ERLVQ	2	1	3	4	6	8	9	5	10	7

Tabelul 12. Rangul componentelor vectoriale pentru baza de date Ionosphere. Sunt reprezentate cele mai importante 5 componente.

Rangul	1	2	3	4	5
Componentele RLVQ	20	28	26	12	6
Componentele OWA-RLVQ	14	12	1	3	28
Componentele ERLVQ	8	24	16	12	6

Tabelul 13. Comparație între ratele de recunoaștere obținute cu LVQ1, RLVQ, OWA-RLVQ și ERLVQ.

Baza de date	LVQ1	RLVQ	OWA-RLVQ	ERLVQ
Iris	91,33%	95,33%	96,60%	97,33%
Deterding	44,80%	46,32%	46,75%	47,18%
Ionosphere	90,06%	92,71%	93,37%	94,03%

Concluzii

Am introdus în acest capitol o nouă metodă de calcul al relevanțelor pentru componentele vectorilor de intrare într-un un sistem de recunoaștere a formelor. Cei doi algoritmi, MIRLVQ și ERLVQ, sunt similari dar primul este dezvoltat prin maximizarea entropiei pătratice Renyi, iar al doilea maximizează o măsură bazată pe energia informațională a lui Onicescu. MIRLVQ și ERLVQ reprezintă o tehnică alternativă algoritmului OWA-RLVQ pentru calculul relevanțelor.

Algoritmii propuși de noi oferă o altă perspectivă pentru recunoașterea formelor, calculând relevanțele prin folosirea ca suport matematic al puternicului aparat reprezentat de teoria informației. Metoda noastră stabilește on-line valorile relevanțelor prin continua adaptare la fluxul de date de instruire. Relevanțele pot fi folosite la ordonarea în mod dinamic a componentelor vectorilor de intrare în funcție de importanța lor, dar și la reducerea dimensiunii vectorilor prin renunțarea la componentele mai puțin importante.

Contribuții originale

Lucrarea abordează următoarele două probleme:

- Cum se poate transfera conceptul de concurență la nivelul unei colecții de rețele neurale pornind de la ideea de modularitate?
- Care este impactul contribuției individuale a componentelor intrărilor asupra performanțelor unor sisteme de recunoaștere a formelor bazate pe rețele neurale?

Modelul rețelelor neurale concurente (CNN) din capitolul 4 este o soluție consistentă pentru prima problemă, iar algoritmi OWA-RLVQ, MIRLVQ și ERLVQ din capitolele 5 și 6 reprezintă răspunsul nostru la a doua întrebare.

Contribuțiile pe care le aduce această lucrare se regăsesc în capitolele 3, 4, 5 și 6.

Recunoașterea vorbirii cu modele clasice de rețele neurale

Este dificil să comparăm performanțele mai multor tipuri de rețele neurale atâta timp cât testele sunt realizate pe date diferite. Din acest motiv, nu putem trage o concluzie relevantă prin simpla alăturare a unor rezultate disponibile în diverse lucrări. Am preferat să facem un studiu comparativ al calității recunoașterii cu percepștroni multistrat, rețele neurale cu întârziere în timp și cu hărți cu autoorganizare a unui set de cuvinte izolate, pe de o parte, și a vorbitorilor dintr-un grup de subiecți, pe de altă parte. Capitolul 3 detaliază metoda de lucru și rezultatele pe care le-am obținut. Am folosit bazele de date Speechdata și Telephdata care conțin pronunții în limba engleză ale tuturor cifrelor, prima dată înregistrate într-un studio special amenajat și a doua oară înregistrate prin telefon. Datorită limitărilor pe care le produce transmisia pe liniile telefonice, a doua bază de date ridică dificultăți suplimentare în recunoaștere. Metoda de preprocesare a semnalelor vocale descrisă în secțiunea 3.2 este binecunoscută. Aceasta constă din calculul coeficienților cepștrali pe ferestre de semnal care sunt suprapuse pentru a surprinde evoluția temporală a semnalelor vocale. Experimental am stabilit că aceste modele neurale nu ne conduc la rezultate satisfăcătoare chiar dacă pentru testele de recunoaștere a cuvintelor izolate avem rate de succes bune. Am putea argumenta că problemele de recunoaștere a vorbitorilor din Speechdata și Telephdata pe care ne-am propus să le rezolvăm sunt dificile însă, cu toate acestea, rezultatele pe care le-am grupat în Tabelul 2 nu sunt suficiente.

Rețele neurale concurente

Este evident că pe măsură ce o rețea neurală are de rezolvat o problemă din ce în ce mai puțin dificilă ea conduce la performanțe mai bune. Pentru a reduce complexitatea recunoașterii printr-o singură rețea neurală a întregii colecții de cuvinte izolate sau a tuturor vorbitorilor, am ales soluția unei rețele neurale modulare formată din rețele neurale specializate pe subprobleme ale problemei inițiale. În capitolul 4 am introdus noul model de clasificare al Rețelelor Neurale Concurente (*Concurrent Neural Networks* - CNN) ca o colecție de rețele neurale de dimensiuni reduse care lucrează în paralel, iar clasificarea se face conform regulii *câștigătorul ia tot*.

Instruirea rețelelor neurale concurente pornește de la presupunerea că fiecare modul este instruit cu propriul set de date. Sistemul este alcătuit din rețele neurale cu diverse arhitecturi. Noi am folosit module de tip percepștron multistrat, de tip rețea neurală cu întârziere în timp și de tip hartă cu autoorganizare, însă se pot folosi și alte variante. Schema de recunoaștere constă dintr-o colecție de module instruite pe câte o subproblemă și un modul care selectează cel mai bun răspuns. Algoritmi de instruire și de recunoaștere din secțiunea 4.2 implementează aceste două tehnici care sunt particularizate în paragraful 4.3 pentru percepștroni multistrat, rețele neurale cu întârziere în timp și hărți cu autoorganizare. MLP-CNN și TDNN-CNN folosesc module instruite supervizat și seturile de vectori de instruire conțin atât exemple pozitive cât și negative. Spre deosebire de acestea, SOM-CNN constă din module care sunt instruite printr-un algoritm nesupervizat și datele constau doar din exemple pozitive. Secțiunea 4.3 oferă detaliile legate de testele de recunoaștere a vorbitorilor din bazele de date Speechdata și Telephdata cu rețele neurale concurente. În comparație

cu rezultatele din capitolul 3, de data aceasta progresele sunt substanțiale iar performanțele sunt, în medie, cu 30%-35% mai bune.

Remarcăm comportamentul foarte bun al SOM-CNN pe care îl folosim mai departe în recunoașterea unor vocale din limba română. În acest scop, am realizat o bază de date care constă din secvențe vocalizate extrase din pronunții în limba română ale celor zece cifre. Am preprocesat aceste semnale vocale prin aceeași metodă folosită pentru Speechdata și Telephdata pe care am descris-o în paragraful 3.2. Energia semnalului calculată pe ferestre oferă o primă informație legată de prezența sau absența unei vocale și ne permite să selectăm doar aceste zone. Identitatea vocalelor este stabilă apoi de o rețea neurală concurentă SOM-CNN.

Am realizat cinci tipuri de experimente diferite pentru a ne forma o imagine corectă asupra modelului propus de noi în acest capitol și pentru o analiză detaliată a sa. Primul experiment a fost cel de recunoaștere a celor șase vocale și semivocale cu care am instruit sistemul. Rezultatele experimentale au arătat în mod clar performanțele foarte bune ale SOM-CNN pentru care am obținut un progres de peste 10% față de SOM, până la 84,21%.

Celelalte experimente au analizat elemente foarte importante care contribuie la calitatea recunoașterii: proporția în care dimensiunile reale ale zonelor vocalizate și nevocalizate sunt sesizate de SOM și SOM-CNN, numărul de succesiuni vocală-semivocală recunoscute corect, proporția în care sistemul sesizează prezența unei consoane în locul unei vocale sau a unei semivocale și procentul în care sunt confundate vocalele. De fiecare dată când am folosit rețelele neurale concurente rezultatele au fost superioare. Putem considera că modelul propus de noi în capitolul 4 este o bună alternativă pentru sistemele clasice de recunoaștere a formelor.

Recunoaștere prin calculul relevanțelor intrărilor folosind operatori OWA

În capitolele 5 și 6 analizăm problema impactului contribuției individuale a componentelor intrărilor asupra performanțelor unor sisteme de recunoaștere a formelor care folosesc rețele neurale.

Importanțele componentelor vectoriale ale intrărilor într-un sistem de recunoaștere a formelor, pe care le-am numit relevanțe sau factori de relevanță, sunt calculate în capitolul 5 ca ponderi ale unor operatori speciali de agregare numiți operatori OWA. Am prezentat această clasă de operatori în secțiunea 5.3, am subliniat proprietățile lor matematice și am prezentat o tehnică de instruire supervizată a lor. Metoda introdusă de noi prin algoritmul OWA-RLVQ folosește relevanțele pentru a defini un nou algoritm LVQ în care prototipurile sunt modificate după o regulă ce înlocuiește distanța euclidiană cu una care înglobează ponderile OWA. În paralel cu actualizarea prototipurilor sunt calculați și factorii de relevanță după o regulă descrisă în detaliu în paragraful 5.4. Această regulă se bazează pe ideea că un vector clasificat corect induce o mărire a relevanțelor, în timp ce unul clasificat incorect provoacă diminuarea acestor factori.

Am experimentat algoritmul OWA-RLVQ pe baze de date standard, disponibile în rețeaua Internet, pentru recunoașterea formelor, după cum se poate vedea în paragraful 5.5. Am obținut rezultate superioare atât față de algoritmul LVQ standard cât și față de algoritmul RLVQ care calculează, de asemenea, relevanțele, însă după o metodă motivată euristic.

Algoritmul OWA-RLVQ este important deoarece face legătura între algoritmul RLVQ și consistentul model matematic al operatorilor OWA. Metoda noastră are rezultate bune atât pentru probleme de recunoaștere vocală cât și pentru probleme generale de recunoaștere a formelor. Relevanțele pot fi folosite și pentru stabilirea dinamică a rangului fiecărei dimensiuni a vectorilor de intrare.

Recunoaștere prin calculul relevanțelor intrărilor folosind noțiuni de teoria informației

În capitolul 6 introducem o nouă metodă de recunoaștere a formelor care folosește factori de relevanță calculați prin maximizarea fie a informației mutuale dintre intrări și clase, fie a unei mărimi bazate pe energia informației. Algoritmul ERLVQ, care se dovedește a fi similar cu MIRLVQ, este o alternativă la OWA-RLVQ deoarece calculează relevanțele care conduc la o bună

delimitare a claselor, în timp ce al doilea algoritm calculează relevanțele care reorientează prototipurile claselor către centroizii acestora.

Informația mutuală se calculează ca o diferență a două entropii Shannon. Este cunoscută, însă, complexitatea de calcul pe care o implică estimarea entropiei Shannon prin eșantioane. Pentru a evita acest dezavantaj, am folosit o metodă recentă de aproximare a informației mutuale prin estimarea densităților de probabilitate cu ferestre Parzen. Această metodă pe care am tratat-o în detaliu în secțiunea 6.3 folosește nuclee gaussiene multidimensionale. Una dintre proprietățile lor remarcabile este că integrala produsului a două nuclee gaussiene este tot o gaussiană. În anexa B am demonstrat această proprietate. Estimarea densității de probabilitate cu ferestre Parzen se folosește pentru estimarea entropiei Renyi care include și entropia Shannon ca un caz particular. Printr-o similaritate cu estimarea entropiei Renyi se poate estima informația mutuală sub forma informației mutuale pătratice, după cum arătăm în paragraful 6.4.

Odată stabilit acest cadru formal, am dezvoltat algoritmul MIRLVQ printr-o metodă de gradient crescător pentru maximizarea informației mutuale dintre variabila aleatoare continuă a intrărilor și variabila aleatoare discretă a claselor. Pentru aceasta, mai întâi am introdus în secțiunea 6.5 algoritmul general *Weighted LVQ* care sintetizează etapele parcurse de un algoritm ce folosește relevanțele pentru clasificarea prin LVQ. OWA-RLVQ este o particularizare a acestui algoritm, iar MIRLVQ se bazează tot pe acest șablon.

Elementul cheie al lui MIRLVQ este faptul că el actualizează relevanțele prin compararea apartenenței la aceeași clasă a doi vectori de instruire consecutivi. Vectorii nu mai sunt apoi folosiți, lucru care îi conferă acestui algoritm atributul de on-line. El poate fi folosit pentru fluxuri de date de instruire și relevanțele se adaptează continuu, reflectând în mod dinamic schimbările care se petrec asupra intrărilor.

Algoritmul ERLVQ introdus în paragraful 6.7 este similar lui MIRLVQ, deși este dezvoltat prin maximizarea unei mărimi bazate pe energia informațională. Definiția energiei informaționale ne permite să folosim și de această dată estimarea densităților de probabilitate cu ferestre Parzen și obținem o formulă de actualizare a relevanțelor pe baza unor vectori consecutivi din setul de instruire. Regulile de modificare iterativă a relevanțelor pe care le-am dedus prin cele două metode au fost integrate în algoritmul *weighted LVQ* rezultând procedura din secțiunea 6.7.

Am experimentat algoritmul ERLVQ în condiții similare cu OWA-RLVQ pentru a putea face o comparație corectă a rezultatelor. Am constatat că abordarea prin prisma teoriei informației conduce la rate de recunoaștere mai bune, inclusiv pentru baza de date Deterding care este un cunoscut benchmark în recunoașterea vorbirii.

Cele două modele de recunoaștere a formelor sintetizate prin algoritmii OWA-RLVQ și ERLVQ reflectă două abordări diferite ale aceleiași probleme. Factorii de relevanță calculați fie prin prisma teoriei operatorilor OWA, fie prin cea a teoriei informației conduc la rezultate care îmbunătățesc ratele de recunoaștere în comparație cu algoritmi puternici care implementează aceeași gamă de aplicații. În plus, relevanțele sunt utile la ordonarea dinamică a componentelor vectorilor de intrare în funcție de importanța lor (*feature ranking*) sau la eliminarea componentelor puțin importante (*feature selection*).

Pentru orice tehnică de recunoaștere sau clasificare automată a formelor se poate face presupunerea că rezultatele obținute ar putea fi dependente de datele de instruire și de test. Acest lucru este adevărat în majoritatea cazurilor, motiv pentru care nu putem susține superioritatea absolută a unei metode. Putem, însă, să folosim date cât mai diverse pentru a testa propriile tehnici sau ne putem verifica metodele în diferite contexte și atunci spectrul cazurilor pentru care abordarea noastră este superioară altora se lărgeste. Din această cauză am testat modelul CNN atât pentru recunoașterea cuvintelor izolate cât și pentru recunoașterea vorbitorilor și pentru recunoașterea vocalelor. Dacă pentru primele două categorii de teste am folosit cuvinte în limba engleză, la recunoașterea vocalelor am utilizat cuvinte pronunțate în limba română. Atunci când am testat algoritmii OWA-RLVQ și ERLVQ, pe lângă pronunții vocale am folosit și eșantioane care, în mod uzual, sunt folosite pentru sisteme generale de recunoaștere a formelor.

Bibliografie

- [1] R. Anand, K. Mehrotra, C.K. Mohan, S. Ranka "Efficient classification for multiclass problems using modular neural networks". IEEE Transactions on Neural Networks 6, 117-124, 1995.
- [2] R. Andonie, F. Petrescu "Interacting systems and informational energy". Foundations of control and engineering 11, no. 2, 53-59, 1986.
- [3] M. Andrei, I. Ghiță "Limba română". Editura Didactică și Pedagogică, București, 1983.
- [4] J. Basak, R.K. De, S.K. Pal "Unsupervised feature selection using a neuro-fuzzy approach". Pattern Recognition Letters 19, 997-1006, 1998.
- [5] R. Battiti "Using mutual information for selecting features in supervised neural net learning". IEEE Transactions on Neural Networks 5, 537-550, 1994.
- [6] G. Beliakov "How to build aggregation operators from data". International Journal of Intelligent Systems 18, 903-923, 2003.
- [7] Y. Bengio, R. Cardin, R. de Mori, E. Merlo "Programable execution of multilayered networks for automatic speech recognition". Communications of the ACM 32, 195-199, 1989.
- [8] C.M. Bishop "Neural networks for pattern recognition". Oxford University Press, New York, 1995.
- [9] C.L. Blake, C.J. Merz "UCI repository of machine learning databases". University of California, Irvine, Department of Information and Computer Sciences, <http://www.ics.uci.edu/~mlearn/MLRepository.html>, 1998.
- [10] T. Bojer, B. Hammer, D. Schunk, K.T. von Toschanowitz "Relevance determination in learning vector quantization". In M. Verleysen (Ed.), Proceedings of the European Symposium on Artificial Neural Networks (ESANN 2001), D-Side publications, 271-276, 2001.
- [11] A. Cațaron, V.-E. Neagoe "Concurrent neural networks for speaker recognition". Proceedings of the International Conference on Telecommunications (ICT 2001), București, 2001.
- [12] A. Cațaron "Vowel recognition using concurrent neural networks". Proceedings of the 8th International Conference on Optimization of Electrical and Electronic Equipments (OPTIM 2002), Brașov, 779-782, 2002.
- [13] A. Cațaron, S. Mătase "Speaker recognition using multi-layer perceptron, time delay neural network, self-organizing map and concurrent neural networks". Proceedings of the 8th International Conference on Optimization of Electrical and Electronic Equipments (OPTIM 2002), Brașov, 775-778, 2002.
- [14] A. Cațaron, R. Andonie "RLVQ determination using OWA operators". In M.H. Hamza (Ed.), Proceedings of the 3rd IASTED International Conference on Artificial Intelligence and Applications (AIA 2003), September 8-10, Benalmadena, Spain, ACTA Press, 434-438, 2003.
- [15] R.K. De, N.R. Pal, S.K. Pal "Feature analysis: neural network and fuzzy set theoretic approaches". Patterns Recognition 10(30), 1579-1590, 1997.
- [16] J.R. Deller, J.G. Proakis, J.H.L. Hansen "Discrete-time processing of speech signals". Prentice Hall, Upper Saddle River, New Jersey, 1987.
- [17] R.O. Duda, P.E. Hart, D.G. Stork "Pattern classification". John Wiley & Sons Inc., New York, 2001.
- [18] J.L. Elman "Finding structure in time". Cognitive Science 14, 179-211, 1990.
- [19] D. Erdogmus, J.C. Principe "Generalized information potential criterion for adaptive system training". IEEE Transactions on Neural Networks 13, 1035-1044, 2002.
- [20] D. Filev, R.R. Yager "Learning OWA operator weights from data". Proceedings of the Third IEEE International Conference on Fuzzy Systems, Orlando, IEEE Press, 468-473, 1994.

- [21] D. Filev, R.R. Yager "On the issue of obtaining OWA operator weights". *Fuzzy Sets and Systems* 94, 157-169, 1998.
- [22] J.W. Fisher III, J.C. Principe "A methodology for information theoretic feature extraction". *Proceedings of the IEEE World Congress on Computational Intelligence*, Anchorage, Alaska, 1712-1716, 1998.
- [23] B. Freisleben, C.A. Bohn "Speaker-independent word recognition with backpropagation networks". In R.F. Albrecht, C.R. Reeves, N.C. Steele (Eds.), *Artificial neural nets and genetic algorithms*, *Proceedings of the International Conference in Innsbruck*, Springer, Wien, 243-248, 1993.
- [24] L.M. Fu "Neural networks in computer intelligence". McGraw-Hill, New York, 1994.
- [25] R.M. Golden "Mathematical methods for neural network analysis and design". The MIT Press, Cambridge, Massachusetts, 1996.
- [26] S. Guiasu "Information theory with applications". McGraw-Hill, New York, 1977.
- [27] B. Hammer, T. Villmann "Input pruning for neural gas architectures". In M. Verleysen (Ed.), *Proceedings of the European Symposium on Artificial Neural Networks (ESANN 2001)*, D-Facto publications, 283-288, 2001.
- [28] B. Hammer, T. Villmann "Batch-RLVQ". In M. Verleysen (Ed.), *Proceedings of the European Symposium on Artificial Neural Networks (ESANN 2002)*, D-Side publications, 295-300, 2002.
- [29] B. Hammer, T. Villmann "Generalized relevance learning vector quantization". *Neural Networks* 15, 1059-1068, 2002.
- [30] S. Haykin "Neural networks - a comprehensive foundation". Macmillan College Publishing Company, New York, 1994.
- [31] D.O. Hebb "The organization of behaviour: a neuropsychological theory". Wiley, New York, 1949.
- [32] D. Huang, T. Chow "Searching optimal feature subset using mutual information". In M. Verleysen (Ed.), *Proceedings of the European Symposium on Artificial Neural Networks (ESANN 2003)*, D-Side publications, 161-166, 2003.
- [33] I. Iordan, V. Robu "Limba română contemporană". Editura Didactică și Pedagogică, București, 1978.
- [34] R.A. Jacobs, M.I. Jordan, A.G. Barto "Task decomposition through competition in a modular connectionist architecture: the what and where vision tasks". *Cognitive Science* 15, 219-250, 1991.
- [35] G. Jumarie "Relative information". Springer-Verlag, Berlin, 1990.
- [36] N.B. Karayiannis "An axiomatic approach to soft learning vector quantization and clustering". *IEEE Transactions on Neural Networks* 10, 1153-1165, 1999.
- [37] N.B. Karayiannis "Soft learning vector quantization and clustering algorithms based on ordered weighted aggregation operators". *IEEE Transactions on Neural Networks* 11, 1093-1105, 2000.
- [38] N.B. Karayiannis, M.M. Randolph-Gips "Soft learning vector quantization and clustering algorithms based on non-euclidian norms: multinorm algorithms". *IEEE Transactions on Neural Networks* 14, 89-102, 2003.
- [39] S.V. Kartalopoulos "Understanding neural networks and fuzzy logic". IEEE Press, Piscataway, New Jersey, 1996.
- [40] T. Kohonen "The "neural" phonetic typewriter". *IEEE Computer Magazine*, March, 11-22, 1988.
- [41] T. Kohonen "Self-organization and associative memory". *Series in Information Sciences* 61, Springer-Verlag, Berlin, 1989.
- [42] T. Kohonen "The self-organizing map". *Proceedings of the IEEE* 78, 1464-1480, 1990.

- [43] T. Kohonen, J. Hynninen, J. Kangas, J. Laaksonen "SOM_PAK: The self-organizing map program package". Laboratory of Computer and Information Science, Helsinki University of Technology, Finland, http://www.cis.hut.fi/research/som_research/nnrc_programs.html, 1995.
- [44] T. Kohonen, J. Hynninen, J. Kangas, J. Laaksonen, K. Torkkola "LVQ_PAK: The learning vector quantization program package". Laboratory of Computer and Information Science, Helsinki University of Technology, Finland, http://www.cis.hut.fi/research/som_research/nnrc_programs.html, 1995.
- [45] T. Kohonen "Self-organizing maps". Springer-Verlag, 1997.
- [46] T. Kohonen, S. Kaski, K. Lagus, J. Salojarvi, J. Honkela, V. Paatero, A. Saarela "Self organization of a massive document collection". IEEE Transactions on Neural Networks 11, 574-585, 2000.
- [47] M.A. Kraaijveld, J. Mao, A.K. Jain "A nonlinear projection method based on Kohonen's topology preserving maps". IEEE Transactions on Neural Networks 6, 548-559, 1995.
- [48] N. Kwak, C.-H. Choi "Improved mutual information feature selector for neural networks in supervised learning". Proceedings of the International Joint Conference on Neural Networks (IJCNN 1999), vol. 2, 1313-1381, 1999.
- [49] N. Kwak, C.-H. Choi "Input feature selection for classification problems". IEEE Transactions on Neural Networks 13, 143-159, 2002.
- [50] N. Kwak, C.-H. Choi "Input feature selection by mutual information based on Parzen windows". IEEE Transactions on Pattern Analysis and Machine Intelligence 24, 1667-1671, 2002.
- [51] I. Lapidot (Voitovetsky), H. Guterman, A. Cohen "Unsupervised speaker recognition based on competition between self-organizing maps". IEEE Transactions on Neural Networks 13, 877-887, 2002.
- [52] M. Last, A. Kandel, O. Maimom "Informatic-theoretic algorithm for feature selection". Pattern Recognition Letters 22, 799-811, 2001.
- [53] W. Li "Mutual information functions versus correlation functions". Journal of Statistical Physics 60, 823-837, 1990.
- [54] D.J.C. MacKay "Information theory, inference, and learning algorithms". Cambridge University Press, 2003.
- [55] W.S. McCulloch, W. Pitts "A logical calculus of the ideas immanent in nervous activity". Bulletin of Mathematical Biophysics 5, 115-133, 1943.
- [56] W.S. McCulloch, W. Pitts "How we know universals: the perception of auditory and visual forms". Bulletin of Mathematical Biophysics 9, 127-147, 1947.
- [57] P. Mitra, C.A. Murthy, S.K. Pal "Unsupervised feature selection using feature similarity". IEEE Transactions on Pattern Analysis and Machine Intelligence 24, 301-312, 2002.
- [58] V.-E. Neagoe, O. Cula "A fuzzy connectionist approach to vowel recognition". In B. Reusch and D. Dascalu (Eds.), Real World Applications of Intelligent Technologies (part II), Institutul Național de Cercetare și Dezvoltare în Microtehnologii, București, 1998.
- [59] V.-E. Neagoe, O. Stănășilă "Recunoașterea formelor și rețele neurale - algoritmi fundamentali". Editura Matrix Rom, București, 1999.
- [60] V. Neagoe "Concurrent self-organizing maps for automatic face recognition". Proceedings of the 29th International Conference of the Romanian Technical Military Academy, Bucharest, Romania, 35-40, 2001.
- [61] V. Neagoe, A. Ropot "Concurrent self-organizing maps for classification of multispectral satellite imagery". Proceedings of the 6th World Multiconference on Systemics, Cybernetics, and Informatics (SCI 2002), Orlando, Florida, 126-131, 2002.

- [62] V. Neagoe, A. Ropot "Concurrent self-organizing maps for pattern classification". Proceedings of the First IEEE International Conference on Cognitive Informatics (ICCI 2002), Calgary, Alberta, Canada, 304-312, 2002.
- [63] V. Neagoe, I. Iatan "Face recognition using a fuzzy-gaussian neural network". Proceedings of the First IEEE International Conference on Cognitive Informatics (ICCI 2002), Calgary, Alberta, Canada, 361-368, 2002.
- [64] V. Neagoe, A. Ropot "Concurrent self-organizing maps – a powerful tool for face and speaker recognition". Proceedings of the International Conference COMMUNICATIONS 2002, Edited by the Technical Military Academy, Bucharest, Romania, 276-281, 2002.
- [65] O. Onicescu "Energia informațională". Studii și Cercetări Matematice 18, 1419-1420, 1966.
- [66] F.J. Owens, R. Andonie, G.H. Zheng, A. Cataron, S. Manciulea "A comparative study of the multy-layer perceptron, the multi-output layer perceptron, the time-delay neural network and the Kohonen self-organizing map in an automatic speech recognition task". Proceedings of the International ICSC Symposium on Engineering of Intelligent Systems (EIS 1998), ICSC Academic Press, 624-629, Tenerife, Spain, February 11-13, 1998.
- [67] S.K. Pal, R.K. De, J. Basak "Unsupervised feature evaluation: a neuro-fuzzy approach". IEEE Transactions on Neural Networks 11, 366-376, 2000.
- [68] M. Pregenzer, D. Flotzinger, G. Pfurtscheller "Distinction sensitive learning vector quantization - a noise-insensitive classification method". Proceedings of the IEEE International Joint Conference on Neural Networks (IJCNN 1994), Orlando, Florida, 2890-2894, 1994.
- [69] M. Pregenzer, G. Pfurtscheller, D. Flotzinger "Automated feature selection with a distinction sensitive learning vector quantizer". Neurocomputing 11, 19-29, 1996.
- [70] J.C. Principe, D. Xu, J.W. Fisher III "Information-theoretic learning". In Simon Haykin (Ed.), Unsupervised adaptive filtering, Wiley, New York, 2000.
- [71] I. Purcaru "Informație și corelație". Editura Științifică și enciclopedică, București, 1988.
- [72] L. Rabiner, B.-H. Juang "Fundamentals of speech recognition". Prentice Hall, Englewood Cliffs, New Jersey, 1993
- [73] A. Rosetti, A. Lăzăroiu "Introducere în fonetică". Editura Științifică și Enciclopedică, București, 1982.
- [74] J.G. Rueckl, K.R. Cave, S.M. Kosslyn "Why are "what" and "where" processed by separate cortical visual systems? A computational investigation". Journal of Cognitive Neuroscience 1, 171-186, 1989.
- [75] D.E. Rumelhart, J.L. McClelland (Eds.) "Parallel distributed processing: explorations in the microstructure of cognition". MIT Press, Cambridge, MA, 1986.
- [76] A. Sato, K. Yamada "Generalized learning vector quantization". In advances in neural information processing systems", G. Tesauro, D. Touretzky, T. Leen (Eds.), vol. 7, MIT Press, 423-429, 1995.
- [77] R. Setiono, H. Liu "Neural-network feature selector". IEEE Transactions on Neural Networks 8, 654-662, 1997.
- [78] C. Shannon "A mathematical theory of communication". The Bell System Technical Journal 27, 379-423, 623-656, 1948.
- [79] V. Ștefănescu "Aplicații ale energiei și corelației informaționale". Editura Academiei, București, 1979.
- [80] K. Torkkola, W.M. Campbell "Mutual information in learning feature transformations". Proceedings of the International Conference of Machine Learning, Stanford, CA, USA, 1015-1022, 2000.
- [81] K. Torkkola "Nonlinear feature transforms using maximum mutual information". Proceedings of the IEEE International Joint Conference on Neural Networks (IJCNN 2001), Washington DC, USA, 2756-2761, 2001.

- [82] K. Torkkola "Learning discriminative feature transforms to low dimensions in low dimensions". In "Advances in neural information processing systems" 14 (NIPS 2001), Vancouver, BC, Canada, MIT Press, 2001.
- [83] K. Torkkola "On feature extraction by mutual information maximization". Proceedings of the IEEE International Conference on Acoustics, Speech, and Signal Processing (ICASSP 2002), Orlando, Florida, 2002.
- [84] K. Torkkola "Feature extraction by non-parametric mutual information maximization". Journal of Machine Learning Research 3, 1415-1438, 2003.
- [85] V. Torra "Learning weights for weighted OWA operators". Proceedings of the IEEE International Conference on Industrial Electronics, Control, and Instrumentation (IECON 2000), Nagoya, Japan, 2000.
- [86] V. Torra "Weighted OWA operators for synthesis of information". Proceedings of the 5th IEEE International Conference on Fuzzy Systems, New Orleans, USA, 996-971, 2000.
- [87] L.P.J. Veelenturf "Analysis and applications of artificial neural networks". Prentice Hall, London, 1995.
- [88] J. Vesanto, E. Alhoniemi "Clustering of the self-organizing map". IEEE Transactions on Neural Networks 11, 586-600, 2000.
- [89] X.L. Xie, G. Beni "A validity measure for fuzzy clustering". IEEE Transactions on Pattern Analysis and Machine Intelligence 13, 841-847, 1991.
- [90] A. Waibel, T. Hanazawa, G. Hinton, K. Shikano, K.J. Lang "Phoneme recognition using time-delay neural networks". IEEE Transactions on Acoustics, Speech, and Signal Processing 37, 328-339, 1989.
- [91] A. Waibel, H. Sawai, K. Shikano "Modularity and scaling in large phoneme neural networks". IEEE Transactions on Acoustics, Speech, and Signal Processing 37, 1989.
- [92] H. Watanabe "A new view of the formal entropy as a measure of interdependence and its application to pattern recognition". Proceedings of the IEEE International Conference on System, Man, and Cybernetics, Nashville, USA, 2827-2832, 2000.
- [93] R.R. Yager "On ordered weighted averaging aggregation operators in multicriteria decisionmaking". IEEE Transactions on System, Man, and Cybernetics 18, 188-190, 1988.
- [94] R.R. Yager, D. Filev "Induced ordered weighted averaging operators". IEEE Transactions on System, Man, and Cybernetics 29, 141-150, 1999.
- [95] R.R. Yager "Induced aggregation operators". Fuzzy Sets and Systems 137, 59-69, 2003.
- [96] D.S. Yeung, X.Z. Wang "Improving performance of similarity-based clustering by feature weight learning". IEEE Transactions on Pattern Analysis and Machine Intelligence 24, 556-561, 2002.
- [97] J.M. Zurada "Introduction to artificial neural systems". West Publishing Company, St. Paul, Minnesota, 1992.
- [98] *** "Stuttgart Neural Network Simulator". SNNS Group, Institute for Parallel and Distributed High-Performance Systems (IPVR), University of Stuttgart, Germany, <http://www-ra.informatik.uni-tuebingen.de/SNNS/>, 1995.

Apariții în anul 2004

- [99] R. Andonie, A. Cațaron „An informational energy LVQ approach for feature ranking”. Proceedings of the European Symposium on Artificial Neural Networks (ESANN 2004), Bruges, Belgium, 2004.
- [100] A. Cațaron, R. Andonie “Computing OWA weights as relevance factors”. Proceedings of the 9th International Conference on Optimization of Electrical and Electronic Equipments (OPTIM 2004), Brașov, 2004.
- [101] A. Cațaron, R. Andonie “Energy generalized LVQ with relevance factors”. Proceedings of the IEEE International Joint Conference on Neural Networks (IJCNN 2004), Budapest, Hungary, 2004.